



وزارة التعليم العالي و البحث العلمي
جامعة الحاج لخضر
كلية العلوم
قسم علوم المادة

مدرسۃ الدکۃ وراہ

فرع : الفيزياء الفلكية

مذكرة

مقدمة لنيل شهادة الماجستير في الفيزياء الفلكية

بُعْدُوَان

Effet laser dans les milieux Stellaires

عمل الليزر في الأوساط الفلكية

من طرف الطالبة

قلاب سهام

أمام اللجنة:

جامعة الحاج لخضر باتنة

الرئيس : الأستاذ عبد الحميد بوجذري أستاذ التعليم العالي

جامعة الحاج لخضر ياتنة

المشرف: الأستاذ عبد العزيز صيد أستاذ التعليم العالي

جامعة الحاج لخضر باتنة

الأعضاء-الأستاذ دراجي، بهلول أستاذ التعليم العالي

جامعة يانغ مختار عنابة

الأستاذة حورية تركي، أستاذ التعليم العالي

بسم الله الرحمن الرحيم

تشكرات

الشكر لله و الحمد لله الذي لا إله إلا هو

أما بعد

أتقدم بالشكر الجزيل إلى كل من ساهم من قريب أو من

بعيد في إنجاز هذه الرسالة

و أخص بالذكر الأستاذ صيد عبد العزيز

الذي أشرف على عملي وأشكره جزيل الشكر على دعمه

وإرشاداته وتشجيعه

كما أتقدم بالشكر الجزيل إلى الأستاذ بولجيري والأستاذ بهلول

على نصائحهما و إرشاداتهما

كما أشكر الأستاذة الفاضلة تريكي حورية على شرف حضورها

كما أتقدم أيضا بجزيل الشكر و التقدير لرئيس لجنة المناقشة

الأستاذ: بولجيري عبد الحميد

كما أشكر أيضا أعضاء لجنة المناقشة الأستاذة:

بهلول الراجي ، تريكي حورية

كما أتوجه بشكري أيضا إلى كل من أطر الدفعة الثانية

لمدرسة الدكتوراء في الفيزياء الفلكية

السنة الدراسية 2008-2009

شكرا

اہم داعی

اهدي هذا الجهد المتواضع إلى من سهر الليالي من أجل نجاحي

أَمْيَار

الغالب

إلى أبي وإجوتني و إخوانني

سلیم، عمار، سامیة، حفیظة

إلى جميع أهل بيتي خاصة زوجي و ابنتي العزيزة

موسـاـويـة شـرـوق

(شمس و سه)

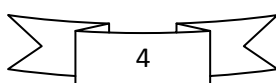
و جمیع زملائی و اصدقائی چمیعا

خاصة ناصري فاطمة

إلى جميع الأساتذة الكرام

* * * * *

10



الفهرس

[1].....	مقدمة عامة
الفصل الأول : المبادئ الأساسية لليزر	
[5].....	I.1. مقدمة
[5].....	I.2. العناصر المكونة لليزر
[6].....	I.3. الامتصاص و الانبعاث
[7].....	I.4. نظرية إنتاج أشعة الليزر
[8].....	I.4.1. الانبعاث التلقائي
[9].....	I.4.2. الانبعاث المستحث (المحفز)
[10].....	I.5. عملية الضخ و التضخيم
[10].....	I.6. التوزيع المعكوس
[11].....	I.7. أنظمة المستويات الليزرية
[11].....	I.7.1. نظام المستويات الثلاثية
[12].....	I.7.2. نظام المستويات الرباعية
[13].....	I.7.3. المقارنة بين النظمتين
[14].....	I.8. خواص الليزر
[15].....	I.9. أنواع الليزر
[15].....	I.9.1. 1 ليزر الحالة الصلبة
[17].....	I.9.2. ليزر الحالة السائلة
[18].....	I.9.3. ليزر الحالة الغازية
[23].....	I.10. معادلات التوزيع الذري
الفصل الثاني : عمل الليزر في الأوساط الفلكية	
[26].....	II.1. عمليات الإثارة الابتدائية في البلازما قليلة الكثافة
[26].....	II.1.1. مقدمة
[27].....	II.2.1. التأين الفوتوني للذرات
[30].....	II.3.1. إعادة التركيب

4.1.II	[33]..... إثارة وتأييد الكترون.
5.1.II	[34] التوازن الحراري الكلي و الم المحلي (TE and LTE) في البلازما
6.1.II	[37]..... خارج - (التوازن الحراري المحلي Non-LTE) الوسط الفيزيائي الفلكي
II	[39]..... II. 2 عمل الليزر في الأوساط الفلكية
1.2.II	[39]..... 1.2. تركيب الليزر الفلكي
2.2.II	[40]..... 2. معادلة SAHA
2.II	[46]..... 2.3 حساب نسبة الضخ في الليزر الفلكي بدلالة درجة الحرارة
2.II	[50]..... 2.4 نتائج الرصد المتعلقة بالليزر
2.II	[50]..... 2.4.1 HeI و HeII في الأغلفة النجمية
2.II	[51]..... 2.4.2 السديم (الإشعاعي الانبعاثي)
II	[54]..... 3.4.2.2 النجم Wolf-Rayt
2.II	[56]..... 4.4.2.2 سديم إيتا كارينا (Eta Carinae)
2.II	[57]..... 2.5 حساب كثافة البلازما بتحليل خط الليزر النجمي
2.II	[58]..... 2.6 دراسة فعل Doppler في الليزر النجمي
	الفصل الثالث : إنتاج ليزر في المخبر يعمل بأشعة X بنفس طريقة الليzer النجمي
III	[67]..... 1. مقدمة
III	[67]..... 2. التفاعل ليزر بلازما
III	[68]..... 2.1.2 بنية البلازما المتشكلة بواسطة الليزر
III	[71]..... 2.2. خصائص بلازما ليزر
III	[72]..... 2.3 آليات امتصاص أشعة الليزر في البلازما
III	[73]..... 3.3. انتشار و تضخيم الليزر X-UV
III	[73]..... 3.1. التضخيم في نظام ASE
	الحاتمة
	[77]..... قائمة الأشكال والمخططات
	[79]..... المراجع
	[81]..... الملخص
	[82].....

مقدمة عام

الليزر(LASER) كلمة انجليزية وهي اختصار للعبارة :

Light Amplification by Stimulated Emission of Radiation

و تعني تضخيم الضوء بواسطة الانبعاث المحفز للإشعاع [15].

في عام 1916 كان آنشيابين أول من تنبأ بأن الذرات تستطيع أن تبث نوعاً من الضوء له خواص لم تكن معروفة من قبل ، وفي عام 1917 أدخل مبدأ الانبعاث المستحث و هو المبدأ الكامن وراء عملية الليزر، حيث انه عند إثارة الذرة بعد امتصاصها للفوتون ، ينتقل الإلكترون من مستوى طاقة أدنى إلى مستوى طاقة أعلى [1].

عادة يرافق رجوع الذرة إلى المستوى الأدنى انبعاث فوتون ، وهذا ما يسمى بعملية الانبعاث التلقائي [1].

أظهر آنشيابين نظرياً أنه من الممكن تحفيز الذرة المثارة من أجل انبعاث الفوتون. التحفيز يتم من طرف فوتون وارد فيتم انتقال الذرة من مستوى طاقة أعلى إلى مستوى طاقة أقل ، و يرافق ذلك انبعاث فوتون جديد له نفس خصائص الفوتون المحفز (نفس التردد، نفس اتجاه الانتشار ، نفس حالة الاستقطاب) وبالتالي تصبح جميع الفوتونات متطابقة و من ثم يحدث تضخيم الضوء.

تم إقتراح استخدام هذا المبدأ لأول مرة سنة 1954 من طرف باسوف (N.G.Basov) و بروخوروف (N.G.Prokhorov) ، و سمي في ذلك الوقت **MASER** اختصار للعبارة التي تعني [1]:

وتعني تضخيم **Radiation(Microwave Amplification by Stimulated Emission of)** الموجات الدقيقة بواسطة الانبعاث المحفز للإشعاع ، و في أثناء وجود عدد كبير من المخابر تسعى لتطوير **MASER** تدخل العالمغوردون (G.Gordon) في ولادة أول **MASER** ضوئي .

قدم مفهوم LASER لأول مرة في عام 1958 في كتاباتشالو (Schawlow) و بروخوروف (N.G.Prokhorov).

في سنة 1960 أجرى العالم تيودور ميمان (Theodore Maiman) أول تجربة على الليزر، في توليد شعاع ضوئي قوي نفاذ من ياقوطة حمراء تغطي الفضة طرفيها و التي يسقط عليها ضوء غامر من مصباح أنبوب زجاجي يحيط بها، فعندما سقط ضوء المصباح على الياقوطة، أهاج ذراتها و انبثت منها وميض انتشر إلى طرفيها ليصطدم بالفضة التي عكسته كالمرآة فتتردد ذهابا و إيابا، فزادت قوته وتركيزه، انطلق شعاع لامع من الضوء الأحمر من نوع غير معهود من قبل، و في سنة 1961 قدم الأستاذ علي جavan الإيراني (Ali Javan) أول إنتاج للليزر الغاز [ليزر الهيليوم - نيون][1]

في سنة 1964 تمت مكافأة كل من تشارلز تاونز (Charles Townes) و بروخوروف و نيكولي باسوف بجائزة نوبل على الأعمال التي قدموها على الليزر، و ألفريد كاستلور (Alfred Kastler) على عمله في الضخ الضوئي سنة 1966.

الليزر يمتد إلى أبعد من الطيف المرئي من الأشعة تحت الحمراء إلى الأشعة السينية^X في عام 1984 أمكن تصنيع أول ليزر أشعة سينية ناجح في مركز البحث Lawrence Livermore National Laboratory في الولايات المتحدة الأمريكية. وهو ليزر بالغ الخطورة والأثر، ومن المعروف أن أشعة "إكس" ذات تردد أعلى بكثير من الأشعة الضوئية، وبالتالي فإن لها قدرة عالية جداً على اختراق الأجسام التي لا يخترقها الضوء العادي، وقد تم إثبات إمكانية الحصول على أشعة "إكس" بطريقة عمل الليزر نظرياً، وتكون الصعوبة في أنه يجب تحويل المادة إلى حالة البلازما للحصول على أشعة "إكس" الليزرية، وهذا يتطلب درجة حرارة عالية جداً لا يمكن الحصول عليها إلا من خلال تفاعل نووي، مما أدى إلى ظهور عدة اقتراحات، بأن يكون توليد الطاقة في مثل هذا الليزر عن طريق انفجار نووي صغير تحت التحكم.

مع التطور العلمي و التكنولوجي وباستعمال أقوى الأدوات في تاريخ علم الفلك تلسكوب هابل الفضائي وتلسكوب التصوير الطيفي الفضائي (STIS / HST) توصل لعلماء إلى ملاحظة و اكتشاف أشعة الليزر في أطيف عدة أجسام فلكية .

في هذه المذكرة إن شاء الله سنتطرق إلى دراسة الفعل الليزري في الأوساط الفلكية : مصدرها , خواصها, ميكانيزماتها ... , أجزنا هذه الدراسة في إطار نظرية التفاعل ليزر بلازما و في إطار نظرية المواقع.

سوف نستهل الموضوع بمدخل يشمل المبادئ الأساسية للليزر من خلال عرض العناصر المكونة للليزر , الامتصاص و الانبعاث , نظرية إنتاج أشعة الليزر , عملية الضخ و التضخيم , أنظمة المستويات الليزرية , أنواع الليزر حسب طبيعة الوسط الفعال , كما نتناول فيه دراسة معادلات التوزيع الذرية .

في الفصل الثاني ركزناأولاً على تقديم العمل النظري الذي يصف عمليات الإثارة في البلازما قليلة الكثافة حيث تطرقنا بشيء من التفصيل إلى شرح التأين الفوتوني , إعادة التركيب , التوازن الحراري الكلي و المحلي , خارج - (التوازن الحراري المحلي Non- LTE) ثانياً عمل الليزر في الأوساط الفلكية و هو لم موضوع بحثنا حيث تطرقنا إلى تركيب الليزر الفلكي , ومعادلة SAHA , حساب نسبة الضخ في الليزر الفلكي بدالة درجة الحرارة، نتائج الرصد المتعلقة بالليزر, حساب كثافة البلازما بتحليل خط الليزر النجمي ثم يأتي دراسة فعل Doppler في الليزر النجمي

ليتبعه الفصل الثالث ليتم فيه عرض كيفية إنتاج الليزر في المخبر بأشعة X بنفس طريقة الليزر النجمي.

نخت المذكرة بخلاصة عامة مع فتح الباب للبحث في الموضوع وتحسين النتائج.

الفصل الأول

المبادئ الأساسية للليزر

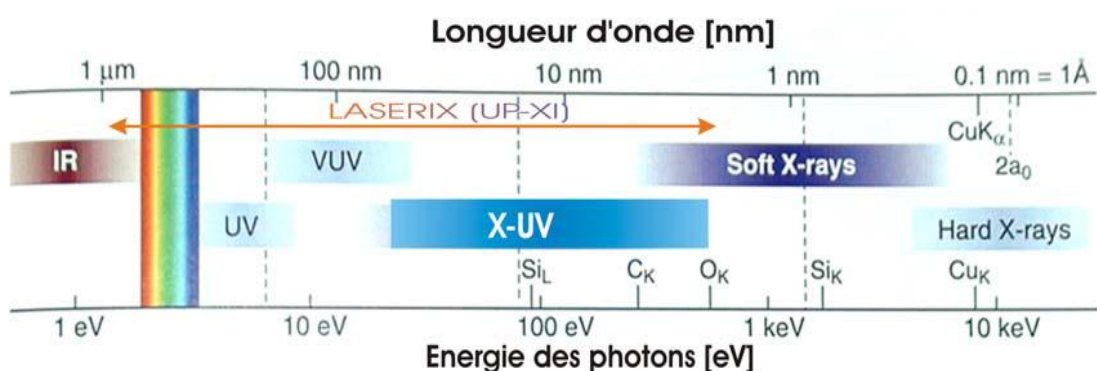
الفصل الأول

المبادئ الأساسية للليزر

I. 1 مقدمة

الليزر هو مصدر الإشعاع ، يمكن أن ينتج حقول كهرومغناطيسية مكثفة في نطاقات طيفية ضيقة للغاية بدءاً من الأشعة تحت الحمراء إلى الأشعة فوق البنفسجية، له عدة استخدامات تكنولوجية : الاتصالات, الاندماج النووي, الطب, الاستعمالات العسكرية.....

في هذا الفصل سنتطرق إلى إجراء دراسة بيليوغرافية حول الليزر : العناصر المكونة له, الامتصاص , الانبعاث التلقائي والانبعاث المحفز, ...



[الشكل I-1): إمتداد طيف الليزر[6]

I.2 العناصر المكونة للليزر :

يتشكل الليزر من ثلاثة عناصر أساسية :

***المكبر الضوئي (المناطق النشطة** (an active medium) :

هو المادة التي تستخدم لتوليد شعاع الليزر أو هو مجموعة من الذرات أو الجزيئات أو الأيونات التي تبث الإشعاعات الضوئية، لديها مستويات طاقة منفصلة تثار بسهولة ، و لها القدرة على تخزين الطاقة الواردة من الخارج عن طريق التفاعل مع الإشعاع الكهرومغناطيسي . و الطول الموجي لإصدار أشعة الليزر يعتمد على الوسط الفعال أو المناطق النشطة[19].

*عملية الضخ (Pumping):

هي عملية نقل الطاقة من مصدر الطاقة إلى الوسط الفعال المولد للليزر، و نوع المادة المستخدمة لتوليد الليزر (الوسط الفعال) تحدد طريقة ضخ المنظومة.

يعتمد الضخ على [19]:

a * نوع الوسط الفعال (صلب, سائل, غاز)

b * نمط التشغيل (مستمر, نبضي)

c * طبيعة عنصر الضخ (كهربائي, كيميائي, بصري, حراري)

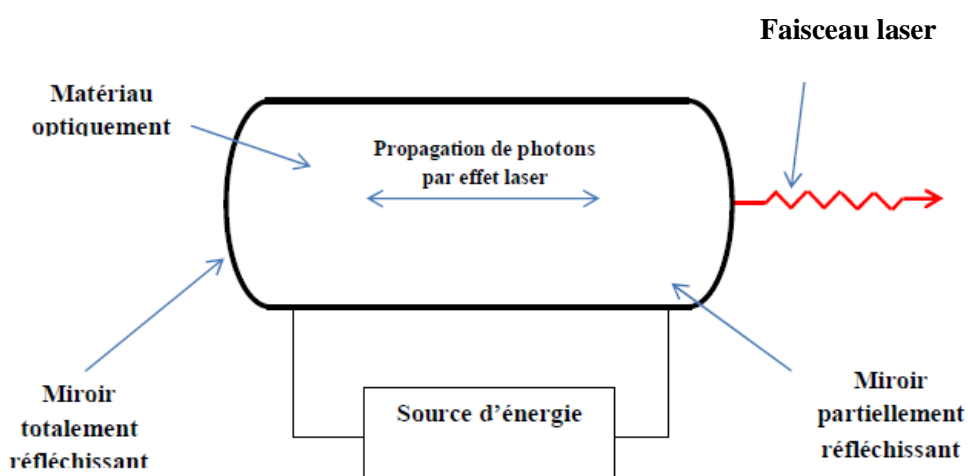
d * عرض نطاق (طيف) الامتصاص لشعاع الضخ إذ أنه يجب أن يمتص الإشعاع

بشكل جيد

***المرنن الضوئي (resonator Anoptical)** المرنان الضوئي يتكون من مرآتين المركز بينهما هو

الوسط الفعال (الشكل 1-2)

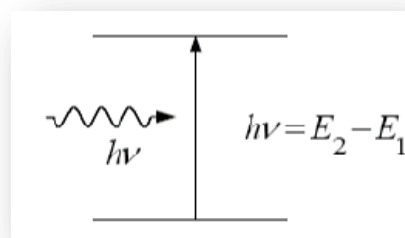
أحد هاتين المرأتين ذات انعكاس كلي و الأخرى ذات انعكاس جزئي [19].



(الشكل I-2): العناصر المكونة لليزر [13]

I.3. الامتصاص و الابعاد:

(a) الامتصاص: هو عملية انتقال (اكتساب) الطاقة من المحيط إلى المادة فتزداد طاقة ذرات أو جزيئات المادة ، فتصعدمن الحالة (E_1) التي كانت فيها قبل امتصاص الطاقة إلى مستويات طاقة أعلى (E_2). [13]



(الشكل-I-3) الامتصاص

b) الانبعاث : هو عملية انتقال (فقدان) الطاقة من المادة إلى المحيط فتقل طاقة ذرات أو جزيئات المادة ، تهبط من الحالة (E_2) التي كانت فيها قبل انبعاث الطاقة إلى مستويات طاقة أوطأ ([13]).

(C) عرض خط الانبعاث (Emission Linewidth)

تمتاز أشعة الليزر عن الضوء العادي بأحادية الطول الموجي (Monochromatic) أي عرض الحزمة التردية $\Delta\nu$ يكون ضيق جدا ، من الناحية النظرية يكون عرض خط الانبعاث لشعاع الليزر يساوي عدد صغير جدا من الهيرتز ولكن من الناحية العلمية يتسع بشكل كبير لأسباب عديدة، و بالتالي تحتوي حزمة الليزر على عدد كبير من الترددات ويسمى متعدد الأنماط الطولية [16].

أسباب هذا الاتساع :

1- أسباب الاتساع المتجانس : الاتساع التصادمي (Collision Broadening)، الاتساع الطبيعي (normal Broadening)

2- أسباب الاتساع غيرالمتجانس : الأيونات الشائبة في البلورات (Dopant Broadening)، اتساع دوبلر [16] (Doppler Broadening)

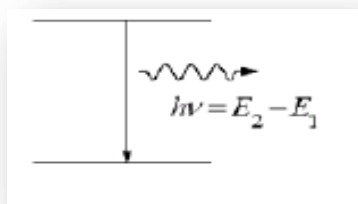
I.4.نظيرية إنتاج أشعة الليزر :

يمكن توضيح نظرية إنتاج أشعة الليزر بسهولة ويسرا إذا أخذنا في الاعتبار تركيب الذرة، ومنسوب الطاقة E_1 , E_2 فلكي تنتقل ذرة من المنسوب الأدنى E_1 إلى المنسوب الأعلى

E_2 فإنها تمتض قدرأ من الطاقة يساوي الفرق بين هذين المنسوبين، ولكي تنتقل الذرة من المنسوب الأعلى إلى المنسوب الأدنى فإنها تطلق قدرأ من الطاقة يساوي أيضاً الفرق بينهما، ويكون ذلك على شكل فوتون [photon] [13]، وفي عام 1917 أوضح "أينشتين" أن الانبعاث يمكن أن يتم بإحدى الطرقتين [19]:

I.4.1. الانبعاث التلقائي (Spontaneous Emission)

تنتقل فيه الذرة من المنسوب الأعلى (E_2) إلى المنسوب الأدنى (E_1) تلقائياً، دون تدخل خارجي. والانبعاث التلقائي هو السمة المميزة لجميع المصادر الضوئية المألوفة، كمصباح بخار الصوديوم، أو بخار الزئبق، أو النيون. وفي كل منها تحدث ملايين الانتقالات التلقائية، نظراً لأن الانتقال التلقائي للذرات يحدث بدون تحكم، ونتيجة لذلك فإن فوتونات الضوء المنبعث غير مترابطة [13].



(الشكل I.4) الانبعاث التلقائي

- يعطى معدل الانبعاث التلقائي بالمعادلة التالية [19] :

$$\frac{dN_2}{dt} = -A_{21} N_2 \quad (1 - I)$$

$\frac{dN_2}{dt}$: يمثل معدل الانبعاث التلقائي.

N_2 : يمثل استيطان المستوى E_2 .

A_{21} : يمثل احتمالية الانبعاث التلقائي من المستوى (E_1) إلى المستوى (E_2)

وتحسب قيمته بالمعادلة التالية : $A_{21} = \frac{1}{t_{spont}}$

t_{spont} : يمثل عمر الانبعاث التلقائي أو هو الفترة الزمنية المتوسطة التي يستغرقها حدوث الانبعاث التلقائي .

2. 4.I . الانبعاث المستحدث (المحفز) :

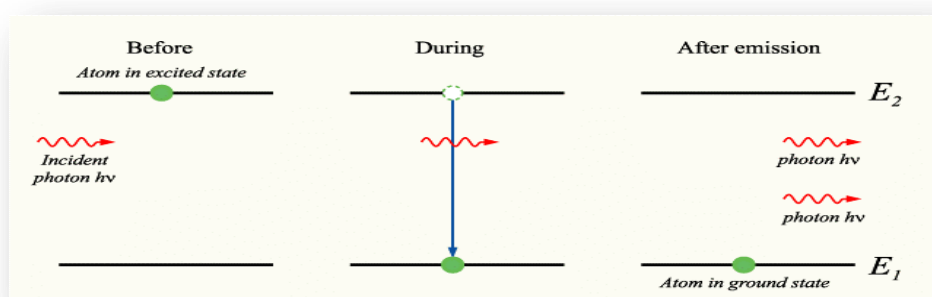
هو عملية فقدان المادة للطاقة على شكل ضوء تحت تأثير خارجي ، وفيه تنتقل الذرة من المنسوب الأعلى E_2 إلى المنسوب الأدنى E_1 عندما يمر بها فوتون طاقته تعادل الفرق بين منسوب الطاقة. ويتميز الانبعاث المستحدث بانبعاث فوتون جديد، فضلاً عن الفوتون الأصلي. ويكون للفوتون المستحدث نفس طاقة الفوتون الأصلي، ونفس ترددده، وطوله الموجي، ولذلك يقال إنهم مترابطان. والانبعاث المستحدث هو السمة المميزة لمصادر الليزر[13]، ويعطى معدل الانبعاث المستحدث بالمعادلة التالية[19]:

$$\left(\frac{dN_2}{dt}\right)_{stim} = -w_{21}N_2 \quad (2 - I)$$

$\left(\frac{dN_2}{dt}\right)_{stim}$: يمثل معدل الانبعاث المحفز.

w_{21} : يمثل احتمالية الانبعاث المحفز من المستوى E_2 إلى المستوى E_1 .

N_2 : تمثل استيطان المستوى E_2 .



(الشكل I – 5) الانبعاث المستحدث (المحفز)

تعطى (R) النسبة بين احتمالية الانبعاث التلقائي و احتمالية الانبعاث المحفز كالتالي [19] :

$$R = e^{hv\nu/KT} - 1 \quad (3 - I)$$

حيث K: هو ثابت بولتزمان ويساوي $(K)JK^{-1}=1.38 \cdot 10^{-23}$.

T: تمثل درجة حرارة المادة بالوحدة المطلقة (K).

$h = 6,626 \cdot 10^{-34} J/s$ ثابت بلانك.

ν التواتر أو التردد (Hz).

5.I عملية الضخ والتضخيم (Pumping process and amplification):

من أجل حدوث ظاهرة التضخيم، من الضروري أن يكون الوسط نشط أو فعال من أجل التوزيع المعكوس (قلب الإسكان).

و يجب أن يكون عدد السكان في المستوى 2 أكبر من عدد السكان في المستوى 1 وهذا بالطبع يتطلب تدخل الطاقة الخارجية ، ذلك لأن عدد كبير من هذه الذرات تمتص طاقة كافية للانتقال إلى مرحلة أعلى إثارة ، ثم تبدأ عودة الذرات المثارة إلى حالتها الأولية فيحدث الإنبعاث التلقائي للفوتونات [16].

I.6 التوزيع المعكوس (Population Inversion):

في الحالة الطبيعية للمادة، يكون الاستيطان أو عدد الذرات أو الجزيئات في الحالة الأساسية (N_0) أكبر من الاستيطان في أي مستوى أعلى. لو أن الحالة تعكس بحيث تكون عدد الذرات أو الجزيئات في الحالة السفلية أقل منها في الحالة الأولى، أي أن $N_1 > N_2$ يمكن أن تنتج محصلة انبعاث للفوتونات ، وهو ما يسمى بالتوزيع المعكوس أو قلب الإسكان ، حسب فانون بولتزمان للتوزيع الذرات و الجزيئات كالتالي [19]:

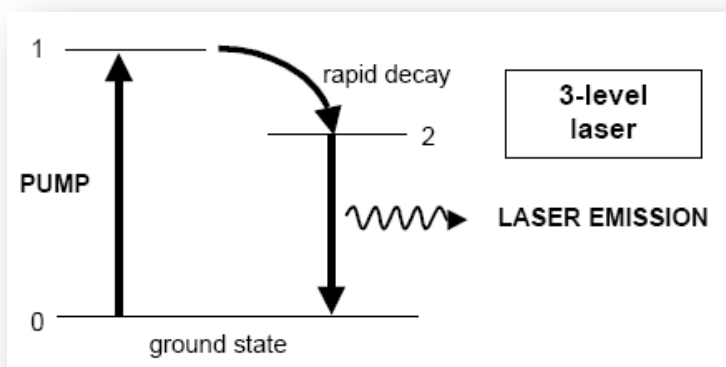
$$\frac{N_2}{N_1} = \exp\left(-\frac{E_1 - E_2}{KT}\right) \quad (4 - I)$$

حيث T درجة الحرارة المطلقة ، K ثابت بولتزمان.

I. 7. أنظمة المستويات الليزرية:

I. 7.1. نظام المستويات الثلاثية (Triple-Level System):

يتكون من ثلاث مستويات طاقة، المستوى الأساسي (Ground) الذي يمثل المستوى الليزري السفلي (Lower Laser Level) ونرمز له (LLL)، والمستوى المتهيج (Excited) الذي يمثل المستوى الليزري العلوي (Upper Laser Level) ونرمز له (ULL)، والمستوى شبه المستقر (Metastable) أو المستوى الوسطي [16].



(الشكل-I-6) نظام المستويات الثلاثية

***خصائص المستويات الثلاثية** :- المستوى الأساسي هو نفسه المستوى الليزري السفلي يجب ضخ نصف عدد الذرات أو الجزيئات من المستوى الأساسي إلى المستوى العلوي للحصول على التوزيع المعكوس، لذلك تحتاج إلى طاقة ضخ عالية جدا.

- المستوى شبه المستقر لا يتم اختياره لعملية التوزيع المعكوس لأنه لا يستطيع خزن عدد كبير من الذرات أو الجزيئات المتهيج مثل المستوى الليزري العلوي الذي يكون عريض جدا.

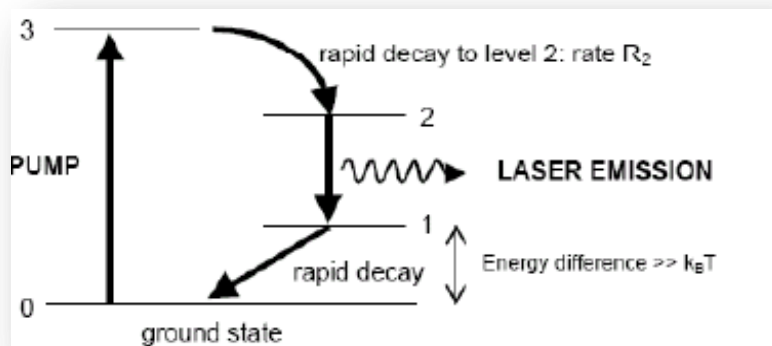
- تحسب قدرة الليزر الخارجة (P_L) كالتالي [19] :

$$P_L = h\nu(w_p \beta N_1 - A_{21} N_2) \quad (5-I)$$

حيث $h\nu$: طاقة الفوتون المنبعث (الليزر) w_p : معدل ضخ الذرات أو الجزيئات إلى المستوى العلوي β : كفاءة المستوى $N_2 A_{21}$: معدل الانبعاث التلقائي من المستوى شبه المستقر (Metastable) إلى المستوى الأساسي .

I. 7. 2. نظام المستويات الرباعية (Four-Level System)

يتكون من أربعة مستويات طاقة ، المستوى الأساسي (Ground)، المستوى الليزري السفلي (Lower LaserLevel) ونرمز له (LLL)، و المستوى المتهيج (Excited)، و المستوى الليزري العلوي (ULL) و نرمز له (Upper Laser Level)



(الشكل-I-7) نظام المستويات الرباعية

***خصائص المستويات الرباعية :**المستوى الأساسي ليس نفسه المستوى الليزري السفلي ، لذلك لا نحتاج إلى مصدر ضخ قوي جدا لتحقيق التوزيع المعكوس. أكثر المواد المستخدمة لتوليد الليزر تكون ذات نظام مستويات رباعية[16]، و تحسب قدرة الليزر الخارجة (P_L) كالتالي[19]:

$$P_L = h\nu \Delta N_c w_L = h\nu \Delta N_c \left(\frac{P_2}{\Delta N_c} - w_{21} \right) \quad (6-I)$$

حيث $h\nu$: طاقة الفوتون المنبعث(الليزر) .

ΔN_c : قيمة التوزيع المعكوس w_L : معدل ضخ أو نزول الذرات أو الجزيئات من المستوى الليزري العلوي إلى المستوى الليزري السفلي P_2' : قدرة الضخ المؤثرة و تحسب كالتالي :

$$P_2' = P_2 \left[1 - \left(\frac{w_2}{w_{10}} \right) \left(1 + \frac{P_1}{P_2} \right) \right] \quad (7-I)$$

ملاحظة

إذا كان عدد الذرات أو الجزيئات N_2 أكبر من N_1 بقدر 1 فإن هذا يعني حدوث التوزيع المعكوس ما بين المستويين E_2 و E_1 [19].

7.I المقارنة بين نظام المستويات الثلاثية والرباعية في الجدول التالي :

نظام المستويات الرباعية	نظام المستويات الثلاثية
يتكون من اربعة مستويات	يتكون من ثلاث مستويات
يتطلب ضخ عدد قليل من الذرات من المستوى الأرضي إلى المستوى المتهيج للحصول على توزع معكوس	يتطلب ضخ نصف عدد الذرات من المستوى الأرضي إلى المستوى المتهيج للحصول على توزع معكوس
المستوى السفلي ليس هو المستوى الليزري السفلي	المستوى السفلي هو نفسه المستوى الليزري السفلي
يحدث الفعل الليزري بين E_2 و E_3	يحدث الفعل الليزري بين E_2 و E_1
لا يحتاج إلى مصدر لطاقة ضخ عالية	يحتاج إلى مصدر لطاقة ضخ عالية
عمر المستوى E_3 صغير جدا	عمر المستوى E_3 صغير جدا
عمر المستوى E_2 طويل نسبيا	عمر المستوى E_2 طويل
يحدث انتقال سريع بين E_2 و E_3	يحدث انتقال سريع بين E_2 و E_3
قانون قدرة الليزر الخارجة $P_L = h\nu(P_2' - w_{21}\Delta N_c)$	قانون قدرة الليزر الخارجة $P_L = h\nu(w_p\beta N_1 - A_{21}N_2)$
أعلى كفاءة من نظام المستويات الثلاثية	أقل كفاءة من نظام المستويات الرباعية

تعتمد قدرات الليزر على 1. تردد شعاع الليزر (v) 2. احتمالية انتقال المحفزة (W_P) 3. كفاءة المستوى (P'_2) 4. عدد الذرات في المساوين (ΔN_c) و N_2 و N_1	تعتمد قدرات الليزر على 5. تردد شعاع الليزر (v) 6. احتمالية انتقال المحفزة (W_P) 7. كفاءة المستوى E_2 (β) 8. احتمالية الانبعاث التلقائي A_{21} 9. عدد الذرات في المساوين N_2 و N_1 و N_2
تحت شرط التوازن الحراري تكون N_2 قليلة قليلة جدا يمكن اهمالها N_1	تحت شرط التوازن الحراري تكون N_2 قليلة جدا يمكن اهمالها
لا يوجد انتقال بين المستوى E_1 والمستوى الأساسي	لا يوجد انتقال بين المستوى E_2 والمستوى الأساسي

8.I خواص الليزر:

(a) **أحادية الطول الموجي**(Monochromatic): على عكس الضوء المنبعث من الشمس أو المصباح فهو متعدد الألوان (يتكون من عدة موجات) بينما شعاع الليزر له طول موجي واحد فقط أي تردد منفرد.

(b) **التشاكه**(Coherency): يعني أن الفرق بين أي نقطتين على موجة شعاع الليزر يكون ثابت عند حركة الشعاع زمانيا و مكانيا, يعتبر الليزر المصدر الضوئي الوحيد الذي يمتلك صفة التشاكه.

(c) **الاتجاهية**(Directionality): هي إنتشار الحزمة باتجاه واحد و لمسافات طويلة جدا دون انفراجهما عن محورها (أو انفراج قليل جدا لا يتجاوز بضعة سنتيمترات لكل كيلومتر).

(d) **السطوع**(Brightness): يعني أن كثافة قدرة شعاع الليزر في وحدة المساحة تكون عالية جدا , وتسمى كثافة قدرة شعاع الليزر في وحدة المساحة بالشدة (Intensity), و تصل شدة شعاع الليزر إلى حوالي (2.10^9 W/cm^2) .

9.I أنواع الليزر

هناك ثلاثة أنواع رئيسية من الليزر وهي حسب طبيعة الوسط الفعال:

9.I.1. ليزر الحالة الصلبة (Solid-state lasers):

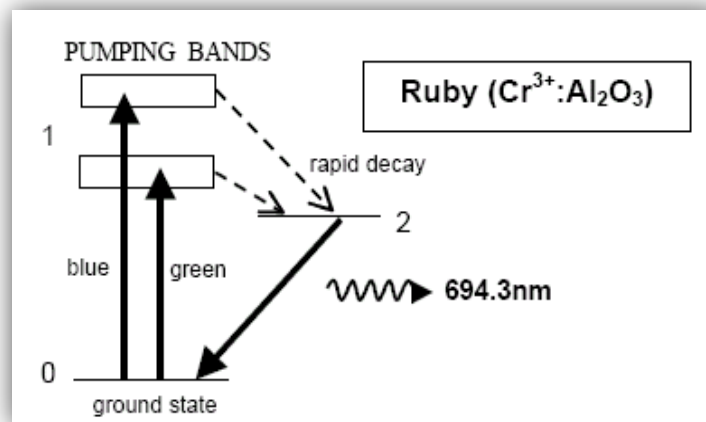
يتكون ليزر الحالة الصلبة من الوسط الفعال و مصدر الضخ و مجهز القدرة والأجزاء الملحة ، الوسط الفعال عبارة عن بلورة من مادة صلبة يتم إدخال أيونات فعالة فيها لغرض توليد الليز، من أكثر بلورات الليزر الشائعة هي بلورات الياقوت (Ruby) والنيدميوم-ياك (Nd:YAG) و النيدميوم-زجاج (Nd:Glass) والأكسندرایت (Alexandrite) والنيتانيوم-زفير (Ti:Sapphire) ، كما يعتبر ليزر أشباه الموصلات من ليزرات الحالة الصلبة ولكنه لا يستخدم بلورة وإنما تركيب من أشباه الموصلات، يتم ضخها بواسطة التيار الكهربائي [19].

(a) ليزر الياقوت (Ruby Laser)

اكتشف عام 1960 وسطه الفعال هو بلورة الياقوت [13]، هي عبارة عن أوكسيد الألمنيوم (Al_2O_5) المطعم بأيونات الكروم (Cr^{+3}) بنسبة تعليم حوالي (5%) من الوزن الكلي بتركيز أيونات فعالة حوالي ($10^{22} m^{-3}$) ، ويكون لون البلوره أحمر و قطرها يتراوح مابين (50-200mm) ، و يتم الضخ باستخدام المصباح الوميضي [19].

يعمل بنظام المستويات الثلاثية (Triple-Level System) ، و يحتاج إلى تبريد جيد جداً.

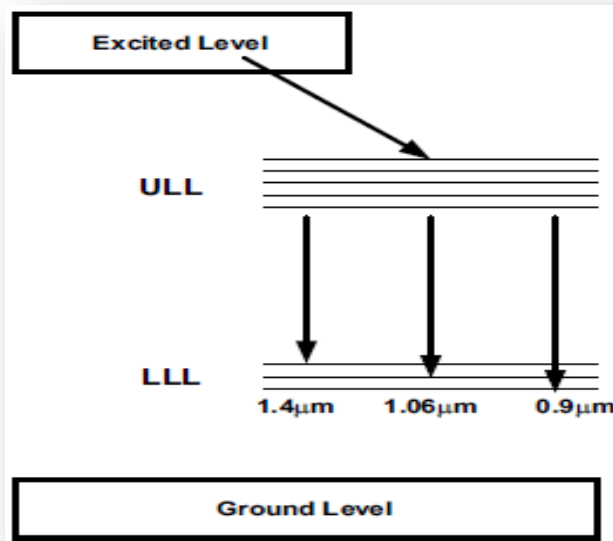
نمط التشغيل نبضي والطول الموجي لشعاع الليزر الخارج (694.3nm) (الأقوى) و (692.9nm).



(الشكل-I-8) مخطط مستويات الطاقة لليزر الياقوت

(b) ليزر النيدميوم - ياك (Neodymium :YAG)

يعتبر واحد من أهم أنواع الليزرات عموماً وقد أكتشف عام 1964، الوسط الفعال هو بلورة الياك (YAG) وهي عبارة عن أوكسيد اليتريوم المطعم بأيونات النيدميوم (Nd^{+3}) بنسبة تعليم لا تتجاوز (1.5%) و يكون لون البلورة أرجواني يتم الضخ باستخدام المصباح الوميضي بكفاءة لا تتجاوز (1.5%) أو باستخدام ليزر أشباه الموصلات بكفاءة تصل إلى (70%) وهو يعمل بنظام المستويات الرباعية ويحتاج إلى تبريد جيد ونمط العمل مستمر و نبضي ، الأطوال الموجية لشعاع الليزر الخارج ثلاثة هي (1.4 μm) و [19] (0.9μm) و (1.06μm) (الأقوى).



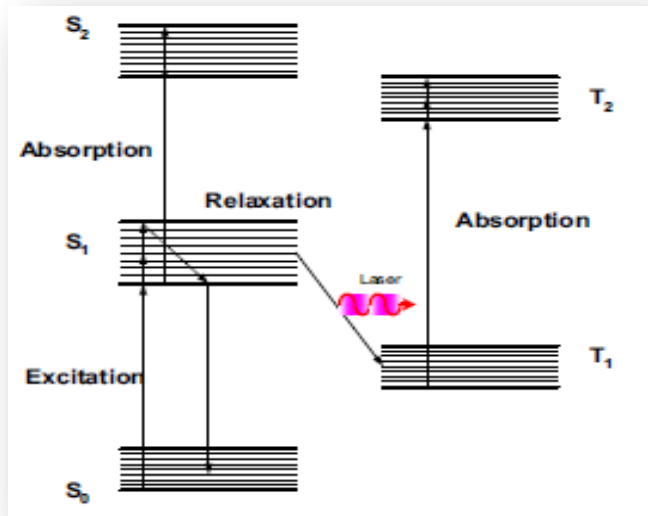
(الشكل I.9) مخطط مستويات الطاقة لليزر النيديميوم - ياك

I.9.2. ليزر الحالة السائلة (ليزر الصبغة) (Dye Lasers)

يتكون ليزر الحالة السائلة من الوسط الفعال ومصدر الضخ و مجهز القدرة والأجزاء الملحة، و سطه الفعال عبارة عن صبغة عضوية (Organic Dye) مذابة في محلول مناسب مثل الماء أو الكحول الأثيلي وغيرها [19].

كما تمتاز ليزرات الحالة السائلة بإمكانية الحصول على حزمة عريضة من الأطوال الموجية للليزر و هذا يسمى التunning (Tuning).
من أبرز أنواع ليزرات الحالة السائلة

- ليزر الصبغة رودامين 6G (R6G) و يبعث في المدى (570-610)nm
- ليزر الصبغة رودامين B (RB) و يبعث في المدى (605-635)nm
- ليزر صبغة الكومارين (Coumarin) و يبعث في المدى (400-575)nm
- ليزر صبغة البوليمرات (Polymethane) و يبعث في المدى (710-950)nm



(الشكل-I-10) ليزر الحالة السائلة

I . 9. 3. ليزر الحالة الغازية (Gaz Lasers) :

يتكون الليزر الغازي من الوسط الفعال ومصدر الضوء (مجهز القدرة) والأجزاء الملحقة. الوسط الفعال عبارة عن أنبوب من الزجاج أو السيراميك يحتوي على غاز واحد مثل ليزرات الأركون والزيون والهيدروجين والنيدروجين أو خليط من غازين مثل ليزرات الهيليوم-نيون ، و فلوريد الهيدروجين ، و كلوريد الزيون أو خليط من غازين مثل ليزرات $CO_2: N_2: He$ [19].

كما تقسم الليزرات الغازية إلى أنواع عديدة حسب آلية توليد الليزر إلى:

- ليزرات الغازات المتعادلة مثل ($He-Cd$) و ($He-Ne$)

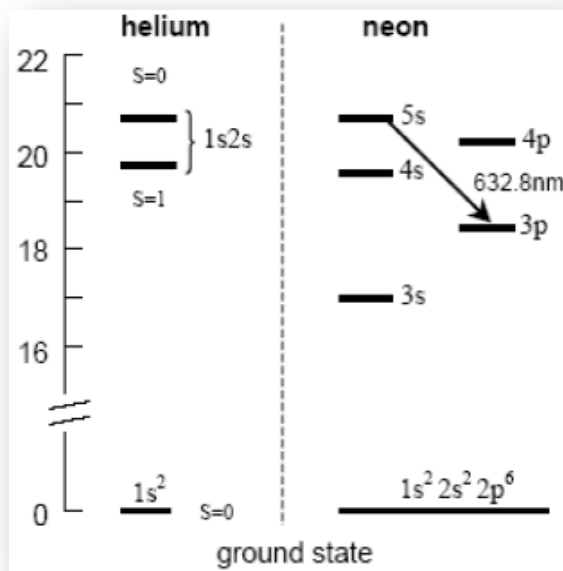
ليزرات الغازات الأيونية مثل (Ar^+) و (Kr^+)

ليزرات الغازات الجزيئية مثل (KrF) و (CO_2)

(a) ليزر الهيليوم - نيون (He-Ne)

الوسط الفعال عبارة عن خليط من غازي الهيليوم والنيون ($He-Ne$) هذه المنظومة تحتاج إلى قدرة كهربائية قليلة للاشتغال .

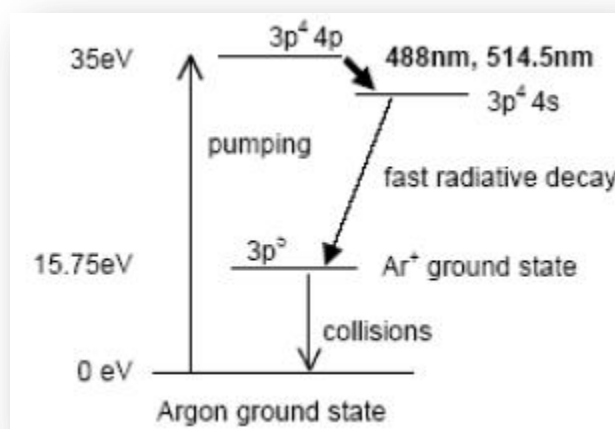
الطول الموجي الخارج هو (632.8 nm) في المنطقة الحمراء[16].



(الشكل I-11) مخطط مستويات الطاقة لليزر الهيليوم-نيون [19]

(b) ليزر أيون الأركون (Ar⁺ Laser)

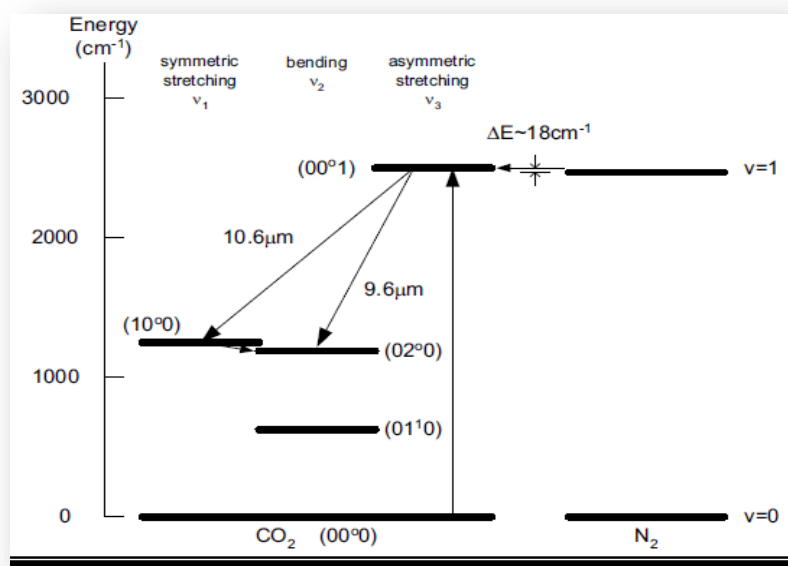
الوسط الفعال عبارة عن غاز الأركون المتأين، له طولين موجيين خارجين هما (488nm) (أزرق) و (514.5nm) (أخضر). [19]



(الشكل I-12) مخطط مستويات الطاقة لليزرايون الأركون [19]

(c) ليزر ثاني أكسيد الكاربون (CO_2):

الوسط الفعال عبارة عن خليط من غازات ثانوي أوكسيد الكاربون والنيتروجين والهيليوم بنسب معينة. و هذا الليزر يبيت مجموعة من الأطوال الموجية ما بين $9.2 - 10.8 \mu m$ ولكن الطول الموجي الأقوى هو $(10.6 \mu m)$



(الشكل 1-13) مخطط مستويات الطاقة لليزر CO_2 [19]

الجدول الآتي يبين عدد من أنواع الليزر المعروف

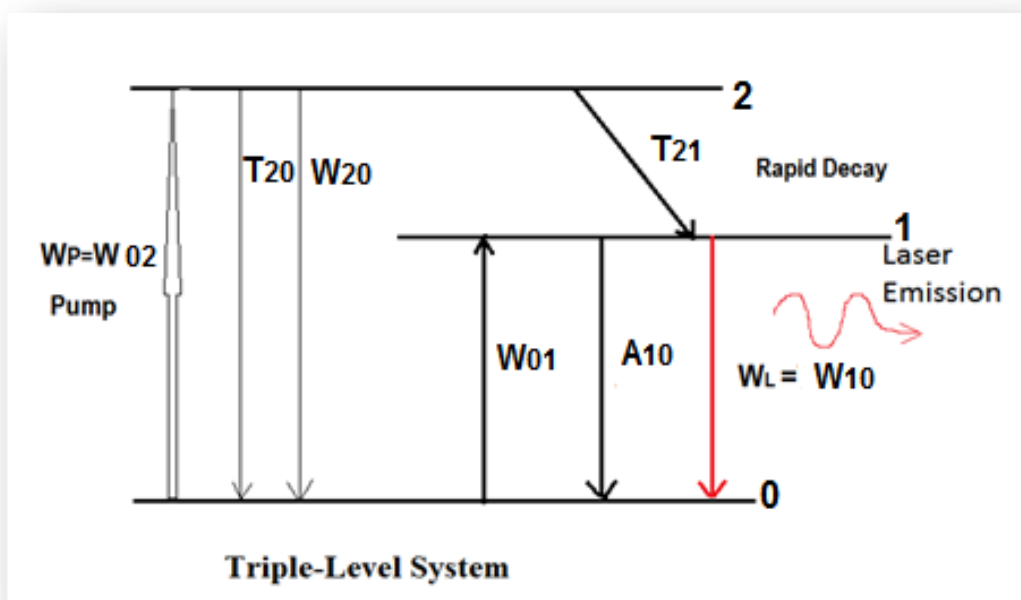
نوع التشغيل	الطول الموجة (μm)	طبيعة وسائط فعالة	الاسم العربي	الليزر
نبضي	0,68 3-levels	صلب	الكساندرات	Alexandrite
مستمر و نبضي	0,7 – 0,82 4-levels	صلب	الكساندرات	Alexandrite
مستمر و نبضي	0,488 – 0,5145	غاز	أيون الأركون	Ar^{+3}
نبضي	0,193	غاز	فلوريد الأركون	ArF
نبضي	5,59 – 6,613	غاز	أول أكسيد الكربون	CO
مستمر و نبضي	10,6	غاز	ثاني أكسيد الكربون	CO_2
نبضي	0,51 – 0,578	غاز	بخار النحاس	Cu-vapor
مستمر و نبضي	1,55	صلب	إربيوم - سيليكا	Er-silica
مستمر و نبضي	0,824 – 0,902	صلب	زرنيخيد - الكالسيوم	GaAs
نبضي	0,116 – 0,16	غاز	الهتروجين	H_2
مستمر	0,325 – 0,442	غاز	هيليوم - كادميوم	He-Cd
مستمر	0,6328	غاز	هيليوم - نيون	He-Ne
مستمر و نبضي	2,5 – 3,4	غاز	فلوريدالهتروجين	HF
نبضي	1,315	غاز	اليود	I_2
مستمر و نبضي	3,112 – 3,15	صلب	زرنيخيدالإنديوم	InAs
مستمر و نبضي	0,903 – 0,91	صلب	فوسفيدالإنديوم	InP
مستمر و نبضي	5,18	صلب	أنتيمونيدالإنديوم	InSb
مستمر	0,6471	غاز	الكريتون	Kr
نبضي	0,248	غاز	فلوريد الكريتون	KrF
نبضي	0,337	غاز	النيتروجين	N_2
نبضي	1,06	صلب	نيديميوم - زجاج	Nd :Glass
مستمر و نبضي	1,064	صلب	نيديميوم ياك	Nd :YAG
مستمر	0,5401	غاز	النيون	Ne
مستمر و نبضي	0,72	غاز	بخار الرصاص	Pb-vapor
مستمر و نبضي	0,57 – 0,61	سائل	رودامين 6G	R6G
مستمر و نبضي	0,605 – 0,635	سائل	رودامين B	RB
نبضي	0,69430	صلب	الياقوت	Ruby
نبضي	0,69 – 1,08	صلب	تيتانيوم - زفير	Ti :Sapphire
نبضي	0,173	غاز	الزينون	Xe_2
نبضي	0,308	غاز	كلور الزينون	XeCl
نبضي	0,351	غاز	فلوريدالزينون	XeF

VISIBLE	Laser Excimer	Couleur	Longueur d'onde
	Laser Excimer	Ultraviolet	308 nm
	Argon	Blue	488 nm
	Argon	Bleu/Vert	514 nm
	KTP	Vert	532 nm
	Gold Vapor	Rouge	628 nm
	Helium Neon	Rouge	633 nm
	Krypton	Rouge	680 nm
	Ruby	Rouge	694 nm
	Nd:AG	InfraRouge	1064,1320 nm
	Holmuim:YAG	InfraRouge	2140 nm
	Erbium:YAG	InfraRouge	2940 nm
	Co2	InfraRouge	10600 nm

(الشكل 14) ألوان مختلف أنواع الليزرات

10.1. معادلات التوزيع الذري

- كثافة توزيع الذرات لليزر ذو ثلاثة مستويات تعطى بالمعادلات الثلاثة التالية :



(الشكل 15-1) نظام المستويات الثلاثية

$$\frac{dN_0}{dt} = (W_{10}N_1 - W_{01}N_0) + (W_{20}N_2 - W_{02}N_0) + A_{10}N_1 + T_{20}N_2 \quad (8 - I)$$

$$\frac{dN_1}{dt} = -(W_{10}N_1 - W_{01}N_0) + T_{21}N_2 - A_{10}N_1 \quad (9 - I)$$

$$\frac{dN_2}{dt} = -(W_{20}N_2 - W_{02}N_0) - T_{20}N_2 - T_{21}N_2 \quad (10 - I)$$

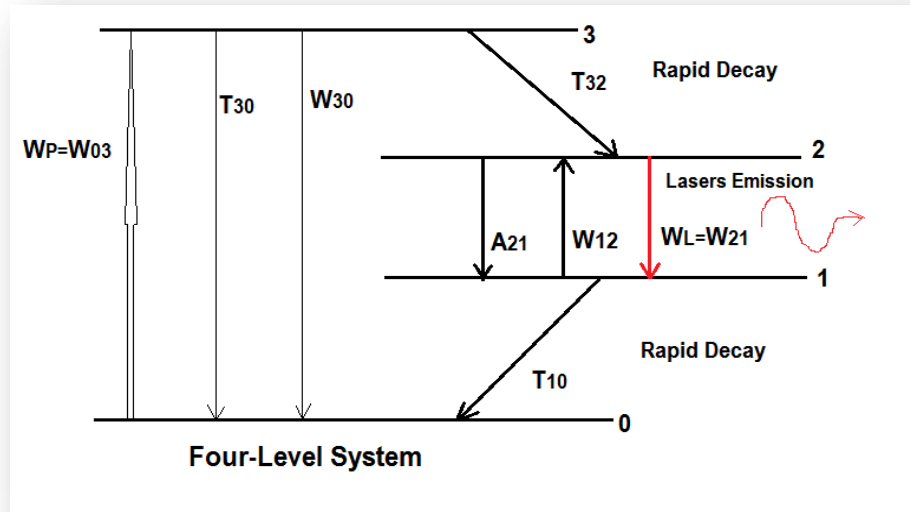
ولدينا $W_P = W_{20} = W_{02}$ ، $W_L = W_{01} = W_{10}$ وبالتالي تصبح المعادلات كالتالي :

$$\frac{dN_0}{dt} = W_L(N_1 - N_0) + W_P(N_2 - N_0) + A_{10}N_1 + T_{20}N_2 \quad (11 - I)$$

$$\frac{dN_1}{dt} = -W_L(N_1 - N_0) + T_{21}N_2 - A_{10}N_1 \quad (12 - I)$$

$$\frac{dN_2}{dt} = -W_P(N_2 - N_0) - T_{20}N_2 - T_{21}N_2 \quad (13 - I)$$

- كثافة توزيع الذرات الليزر ذو أربعة مستويات تعطى بالمعادلات الأربع التالية :



(الشكل 16-1) نظام المستويات الرباعية

$$\frac{dN_0}{dt} = (W_{30}N_3 - W_{03}N_0) + T_{30}N_3 + T_{10}N_1 \quad (14-I)$$

$$\frac{dN_1}{dt} = (W_{21}N_2 - W_{12}N_1) + A_{21}N_2 - T_{10}N_1 \quad (15-I)$$

$$\frac{dN_2}{dt} = -(W_{21}N_2 - W_{12}N_1) - A_{21}N_2 + T_{32}N_3 \quad (16-I)$$

$$\frac{dN_3}{dt} = -(W_{30}N_3 - W_{03}N_0) - T_{30}N_3 - T_{32}N_3 \quad (17-I)$$

ولدينا $W_P = W_{30}W_{03} = , \quad W_L = W_{12} = W_{21}$ وبالتالي تصبح المعادلات كالتالي :

$$\frac{dN_0}{dt} = W_P(N_3 - N_0) + T_{30}N_3 + T_{10}N_1 \quad (18-I)$$

$$\frac{dN_1}{dt} = W_L(N_2 - N_1) + A_{21}N_2 - T_{10}N_1 \quad (19-I)$$

$$\frac{dN_2}{dt} = -W_L(N_2 - N_1) - A_{21}N_2 + T_{32}N_3 \quad (20-I)$$

$$\frac{dN_3}{dt} = -W_P(N_3 - N_0) - T_{30}N_3 - T_{32}N_3 \quad (21-I)$$

الفصل الثاني

عمل الليزر في الأوساط الفلكية

الفصل الثاني

عمل الليزر في الأوساط الفلكية

II. عمليات الإثارة الابتدائية في البلازما قليلة الكثافة

1.1. II مقدمة

البلازما هي الحالة الرابعة للمادة تكون على شكل غاز يحتوي على خليط من أعداد متساوية من أيونات موجبة الشحنة و إلكترونات و ذرات متعادلة أو جزيئات، تمثل البلازما 99% من هذا الكون [17] ، وهي المكون الرئيسي لمادة الشمس و غيرها من النجوم وتوجد أيضا في السحب الغازية الواقعة داخل المجرات و فيما بينها .

بما أن البلازما حالة غير مستقرة فإن قوة التجاذب الكهربائية تعمل على إعادة إتحاد (تركيب) الشحنات الموجبة و السالبة مع بعضها البعض ، ويكون نتيجة إعادة التركيب انطلاق ضوء ذو تردد معين يعتمد على مستويات الطاقة للذرات المكونة لمادة البلازما [1].

الذرة (الأيون) في البلازما الفلكية قليلة الكثافة بالقرب من نجم حار(ازرق) تشارك في سلسلة من العمليات الإشعاعية و التصادمية التي تسببها الأشعة فوق البنفسجية الآتية من النجم. الشكل (II-1) يوضح بطريقة مبسطة تسلسل هذه العمليات[1].

الأشعة فوق البنفسجية للجسم الأسود تحول بالتأين الضوئي الذرات A إلى شوارد و هذا ما يكون بلازما منخفضة الكثافة، و بسبب التصادم بين الشوارد المشكلة A^+ و إلكترونات فإنها تتحدد لتكوين ذرات محايدة في الحالة الأساسية A أو في الحالة المثارَة A^* , الذرات المثارَة A^* تنزل (تظمحل) إلى الحالة الأساسية A بإرسال فوتونات في الانتقالات الإشعاعية المسموحة ، نسبة صغيرة من الذرات تبقى في الحالة شبه مستقرة لمدة طويلة[1].

تصادم الإلكترونات بالذرات يؤدي إلى إثارتها و تأينها، فأشعة إعادة التركيب المنبعثة من الذرة A يمكن أن تثير ذرات(أيونات) من مرحلة أخرى أو حتى عناصر أخرى في البلازما إذا كان هناك توافق في طول الموجة بين الأشعة الممتصة و أشعة إعادة التركيب .

المكونات الرئيسية للبلازما الفلكية هي 90% من الهيدروجين و 10% من الهليوم مع طاقة التأين $V = 13.6 \text{ eV}$ أو $I(H) = 24.6 \text{ eV}$. ولذلك الظواهر الذكورة تحدث بشكل رئيسي على ذرات الهيدروجين والهليوم في المنطقة الساخنة من النجم والمناطق المجاورة لها.

II.1.2. التأين الضوئي للذرات:

يدور الإلكترون حول النواة في عدد محدد من مستويات الطاقة الثابتة والمحددة دون أن يفقد أو يكتسب طاقة في الحالة العادية للذرة، لكن أثناء دوران الإلكترون حول النواة بطاقة معينة فإنها تتوقف على بعد مستوى الطاقة الذي يدور فيه عن النواة حيث تتزايد طاقة المستوى بزيادة نصف قطره، في الحالة المستقرة للذرة يدور الإلكترون في مستوى الطاقة المناسب لطاقته وعند إثارة الذرة أو إكساب الذرة طاقة يقفز الإلكترون مؤقتاً إلى مستوى طاقة أعلى و يتوقف على مقدار الكم المكتسب من الطاقة، وتسمى هذه الظاهرة بالتأين الضوئي [1].

يعتمد التأين الضوئي على المقطع الفعال بدلالة التردد للذرة الهيدروجين في المستوى $n = 1$ (المستوى الأساسي)، أين $\nu > \nu_C$ حيث ν_C حد التأين (حد ليمان Lyman)، حيث $\lambda_C = 912 \text{ Å}^{\circ}$ ، $\nu_C = 3.3 \cdot 10^{15} \text{ Hz}$: limit

حيث تم تحديد المقطع الفعال بدقة جيدة من قبل صيغة كرامز [1]:

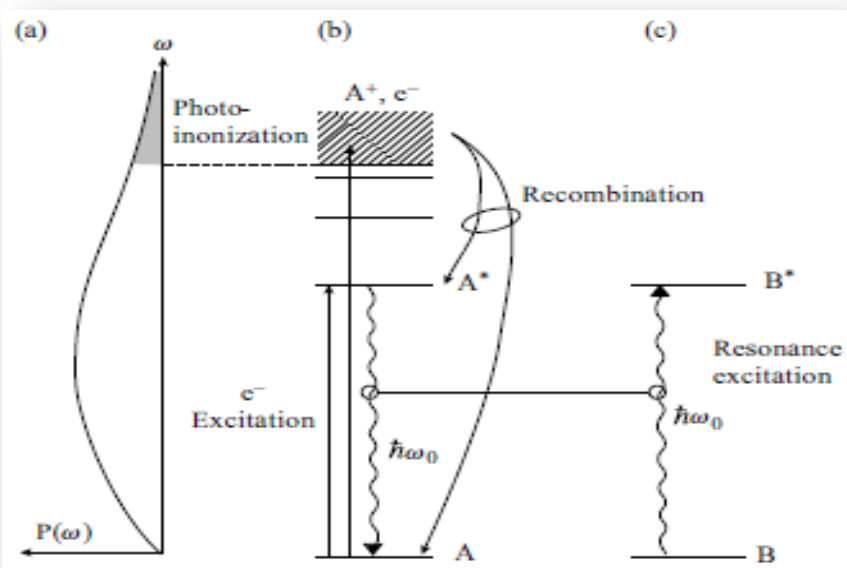
$$\sigma_i(\nu) = \frac{64}{3\sqrt{3}} \alpha \left(\frac{\nu_C}{\nu} \right)^3 \frac{\pi a_0^2}{n^5} \quad (1-II)$$

حيث: $\alpha = e^2/\hbar c$ ثابت البنية الدقيقة

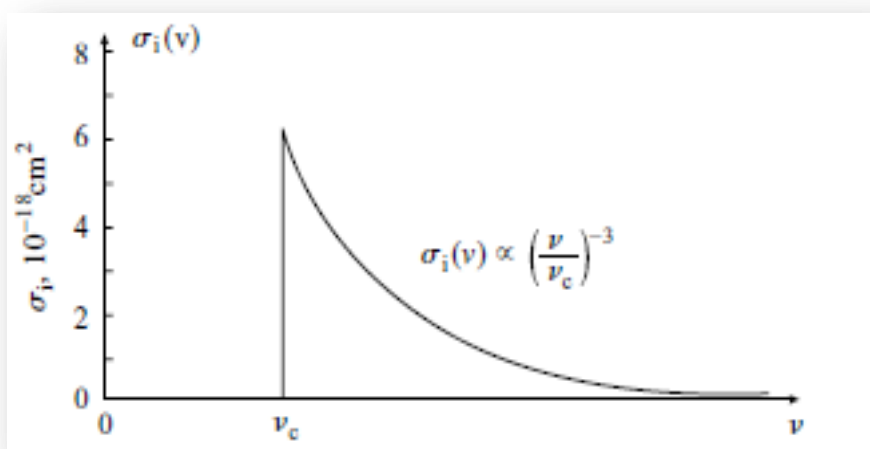
πa_0^2 : المقطع الفعال الهندسي للذرة

$$(Bohr radius) a_0 = \hbar^2/m e^2 = 0.529 \cdot 10^{-8} \text{ cm}$$

هذه العلاقة مبينة في الشكل (II - 2) أين يمكن أن نرى المقطع الفعال للتأين الضوئي لديه الحد الأقصى عند حد التأين ، ومن ثم يتناقص بسرعة وفق القانون $\left(\frac{v_c}{v}\right)^3$ و القيمة المطلقة لـ $\sigma_i = \sigma_{ph}$ بالقرب من حد التأين تقع بين $10^{-19} - 10^{-18} cm^2$.

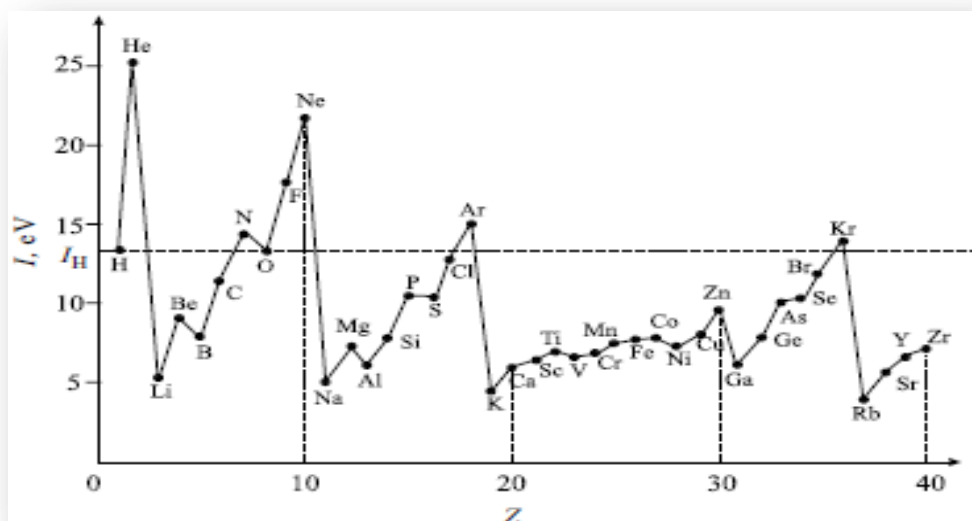


الشكل (II - 1) العمليات الأساسية تحت إشعاع الذرة بواسطة أشعة الجسم الأسود التي تحتوي على الأشعة فوق البنفسجية قصيرة الموجة الجناح (a) ، بم في ذلك الإثارة المتجاورة لذرات الشوائب B (b) بواسطة إعادة تركيب الخط الطيفي للذرة (c)[1]A



الشكل(II - 2) ارتباط المقطع الفعال للتأين الضوئي لذرة الهيدروجين (v) σ_i بالتردد v بجوار عتبة التأين (Lyman limit) حد ليمان (Lyman limit) $\lambda = 912 \text{ \AA} = 3.3 \cdot 10^{15} \text{ Hz}$. [1] $v_c = 10^{18} \text{ Hz}$

الشكل(II - 3) يصف طاقات التأين للذرات المتعادلة (المحابدة) الأربعون الأولى من عناصر الجدول الدوري ، كل هذه العناصر وحتى الأثقل منها يمكن العثور عليها في البلازما الفلكية وفقاً لمتوسط وفرتها في الكون، الرسم البياني يبين أنه حتى عندما يتم امتصاص كل الأشعة فوق البنفسجية النجمية بسبب التأين الضوئي للهيدروجين ، فإن الإشعاع ذو الطول الموجي $\nu_C > \nu$ قادر على تأين معظم العناصر الأخرى مع انخفاض طاقات التأين $I_H < I$ ، وهذا ضروري جداً بالنسبة للمناطق المحابدة ، أين كثافة الإلكترون وطاقةه تكون صغيرة جداً لتأين عناصر التصادم الأخرى [1] .



الشكل(II - 3) طاقة التأين I للعناصر بدلالة العدد الذري Z , حيث I_H طاقة تأين الهيدروجين

معدل التأين الضوئي (in s^{-1}) $W_i = W_{\text{ph}} P(\nu, \Omega)$ يحدد بواسطة تدفق الإشعاع بسطوع طيفي للحالة المقطعة الفعال ($\sigma_i(\nu)$ بالوحدة $\text{photons/cm}^2 \cdot \text{s} \cdot \text{st} \cdot \text{Hz}$)

$$W_i = \int_{\nu_c}^{\infty} \int \sigma_i(\nu) P(\nu, \Omega) d\nu d\Omega \quad (2-\text{II})$$

لأجل التوازن الإيزوتربوي (isotropic) الإشعاعي تصبح العلاقة كالتالي :

$$W_i = 4\pi \int_{\nu_c}^{\infty} \sigma_i(\nu) P(\nu, \tau) d\nu \quad (3-\text{II})$$

إن وجود جناح للأشعة فوق البنفسجية في طيف الأشعة ضروري لأجل التأين الضوئي لذرات الهيدروجين (الشكل II - 1a)، و الأشعة فوق البنفسجية غالباً ما تعني الإشعاع ذو الطول الموجي $\lambda_c = 912 \text{ Å}$.

1.1.II إعادة التركيب :

هي عملية عكسية للتأين الضوئي ، أي عند وجود الإلكترون سالب و أيون موجب بالقرب من بعضهما البعض فإنه يمكن إعادة إلتحامهما [18]، مكونين بذلك ذرة أو جزيء متعدلاً، و تعرف هذه الظاهرة باسم (إعادة التركيب Recombination) و يتاسب معدل إعادة التركيب (أي عدد مرات إعادة التركيب في وحدة الحجوم وفي وحدة الزمن) طردياً مع تركيز كل من الإلكترونات n_- والأيونات n_+ و يمكن تحديده من العلاقة [13]:

$$\frac{dn_+}{dt} = \frac{dn_-}{dt} = -\alpha n_+ n_- \quad (4-II)$$

حيث α معامل ثابت يعرف باسم معامل إعادة التركيب .

- على سبيل المثال إعادة تركيب ذرة الهيدروجين :

$$H^+ + e^- (\varepsilon) = H(n, e) + h\nu \quad (5-II)$$

أين $\frac{mv^2}{2} = \varepsilon$ هي الطاقة الحركية للإلكترون .

المقطع الفعال لإشعاع إعادة التركيب للحالة $n_r(n)$ يرتبط بسرعة الإلكترون كما بنفس الطريقة المقطع الفعال للتأين الضوئي يعتمد على زيادة طاقة الفوتون $h\nu$ على طاقة التأين I_c [1].

إن المقطع الفعال للتأين الضوئي $(\sigma_i^n(\nu))$ يرتبط بالمقطع الفعال لإشعاع إعادة التركيب $(\sigma_r^n(\nu))$ وفقاً لعلاقة ميلن (the Milne relation) [1]:

$$\sigma_r^n(v) = \frac{g_i(n)}{g_{i+1}(1)} \left(\frac{h\nu}{mcv} \right)^2 \sigma_i(\nu) \quad (6-II)$$

أين $g_i(n)$: الوزن الإحصائي للحالة n .

(1) g_{i+1} : الوزن الإحصائي للأيون في الحالة الأرضية.

في نطاق درجة الحرارة $(5-10) \cdot 10^3 \text{ K} = T_e$, نموذجياً في حالة البلازما قليلة كثافة، المقطع الفعال لإعادة التركيب حوالي 10^{-20} cm^2 , يعني أنه أقل بكثير من المقطع الفعال الهندسي لذرة الهيدروجين πa_0^2 , والإلكترون الضوئي الذي يظهر في البلازما الفلكية يريد الوصول إلى حالة التوازن مع بقية الجسيمات المشحونة عند درجة حرارة معينة T_e [1]. وبالتالي فإن معدل إعادة التركيب في درجة حرارة T_e يمكن التعبير عنه بدالة معامل إعادة التركيب في الحالة المرتبطة n على النحو التالي:

$$\alpha_n(T_e) = \int_0^\infty \sigma_r(n, v) v f(v) dv \quad (7 - \text{II})$$

حيث $f(v)$ هي دالة توزيع الإلكترونات (توزيع ماكسويل - بولتزمان) :

$$f(v) = 4\pi \left(\frac{m}{2\pi k T_e} \right)^{3/2} v^2 \exp \left[-\left(\frac{mv^2}{2kT_e} \right) \right] \quad (8 - \text{II})$$

حيث أن α_n ترتبط بالحالة الكوانтиة النهائية n للهيدروجين ويعطى في الجدول (1 - II) إعادة التركيب الأكثر احتمالاً وهي الحالة الأساسية ($n = 1$).

لكن في البلازما الفلكية ومع ارتفاع كثافة الضوء، الفوتون في استمرارية ليمان C , أي أن الطاقة $I_c > h\nu$ تمتض بسبب تأين ضوئي جديد لذرة هيدروجين أخرى، من خلال إعادة التركيب والاضمحلال المتعاقب للإشعاع انطلاقاً من الحالات عالية الارتباط، 70% من كل إعادة التركيب للحالة المثارة يملئ المستويات $2p$ ويعطى إشعاع في خط ليمان α [1]. مجموع معاملات إعادة التركيب لجميع المستويات يساوي مجموع جميع المستويات النهائية

$$\alpha(T_e) = \sum_n \alpha_n(T_e) \quad (9 - \text{II})$$

$\alpha_{4s} = 3.6$	$\alpha_{4p} = 9.7$	$\alpha_{4d} = 11$	$\alpha_{nf} = 5.5$
$\alpha_{3s} = 7.8$	$\alpha_{3p} = 20$	$\alpha_{3d} = 17$	
$\alpha_{2s} = 23$	$\alpha_{2p} = 54$		
$\alpha_{1s} = 160$			
$\alpha_A = \sum_{n=1}^{\infty} \alpha_n = 420;$		$\alpha_B = \alpha - \alpha_{1s} = 260$	

الجدول (II - 1) معاملات إعادة التركيب α_n للهيدروجين في درجة حرارة

$$(10^{-15} \text{ cm}^3/\text{s}) \quad T_e = 10^4 \text{ K}$$

حيث أن (T_e) ترتبط بدرجة الحرارة و توضح بشكل تقريري جيد بالعلاقة [1]:

$$\alpha(T_e) \simeq 3 \cdot 10^{-11} \frac{(Z-1)^2}{\sqrt{T_e}} [\text{cm}^3 \cdot \text{s}^{-1}] \quad (10 - \text{II})$$

على سبيل التعميم , من خواص العدد الذري Z أنه يعطي درجة تأين و درجة إعادة تركيب الأيون , أي أن H^+ ذرة ذات تأين منفرد , $Z=2$ تأين مضاعف , $Z=3$... إلخ ,

و النسبة لاحتمال إعادة التركيب في وحدة الزمن W_{rec} يتعلق بكتافة الإلكترون n_e و معامل إعادة التركيب [1] :

$$W_{rec} = n_e \alpha(T_e) \quad (11 - \text{II})$$

الصيغ أعلاه لمعدلات التأين الضوئي و إعادة التركيب الإشعاعي تقودنا إلى اعتبار توازن التأين في سحابة غاز الهيدروجين(سديم، تكثيف الغاز) حيث يبدو عمل الليزر الفلكي.



الشكل (II - 4) كيف يصدر الضوء من الذرة

II - 1 - 4 - إثارة وتأين الإلكترون :

التصادم بين الذرة والإلكترون الطاقة العالية $E = \frac{1}{2}mv^2$ يتجاوز طاقة التأين E_n أو طاقة التأين I يمكن أن تأين أو تثير الذرة على التوالي . والمقطع الفعال لبعض عمليات التصادم له قيمة ضمن مجال واسع حول المقطع الفعال لحركة الغاز πa_0^2 , ولتقدير هذه المقاطع الفعالة للذرات و الأيونات بالتفصيل هناك أساليب مختلفة في الدراسة الشاملة من طرف العالم [1] (Sobel'man et al., 1981))

الشكل (II - 5) يظهر المقطع الفعال للإثارة بالنسبة للتحولات المسموحة $1s-2p$ والمحظورة (الممنوعة) $1s-2s$ لـ H^+ بدلالة الطاقة, تتفق النتائج التجريبية بشكل مقبول مع نتائج الحسابات في تقرير BOR الأبسط , وفق الطابع ثنائي القطب من هذا التقرير, وحساب المقطع الفعال للانتقالات المسموحة في الشكل (II - 5a) هو أعلى من المنحنى التجريبي في حين أن الانفاق جيد في حالة التحولات الممنوعة الشكل (II - 5 b) , ولكن العديد من هذه المقاطع الفعالة أقل رتبة من المقطع الفعال للانتقالات الإشعاعية المجاورة .

لذلك تثار الحالة الشبه مستقرة عن طريق سلسلة من الأضمحلال الإشعاعي من الحالة عالية الإرتباط أو من خلال إثارة إلكترون التصادم من الحالة الأساسية.

الشكل (II - 6) يبين أن المقطع الفعال للتأين من الحالة الأساسية للهيدروجين يتعلق بطاقة الإلكترون E , و يمكن أن نرى أن هذا المقطع الفعال هو أعلى بكثير من إشعاع إعادة التركيب في البلازما قليلة الكثافة.

II. 5. التوازن الحراري الكلي و المحلي (TE and LTE) في البلازما:

في حالة الوسط الغازي(plasma) و في الليزر الفلكي من الضروري جداً أن يكون على الأقل زوج واحد من مستويات عنصر واحد (ذرة ، أيون) تحت عدم التوازن في هذا الوسط و الجزيئات ذات الكتل الكبيرة في هذه الحالة تكون دائماً تحت التوازن الحراري[1].

في حالة التوازن الكلي، الذرات (الأيونات) والأشعة تكون تحت التوازن الحراري ، أين التردد يصف توزيع الإشعاع عن طريق توزيع بلانك [1]:

$$U(\nu) = \left(\frac{8\pi\nu^2}{c^3} \right) \frac{h\nu}{\exp\left(\frac{h\nu}{KT}\right) - 1} \left[\frac{\text{erg}}{\text{cm}^3 \text{Hz}} \right] \quad (12 - II)$$

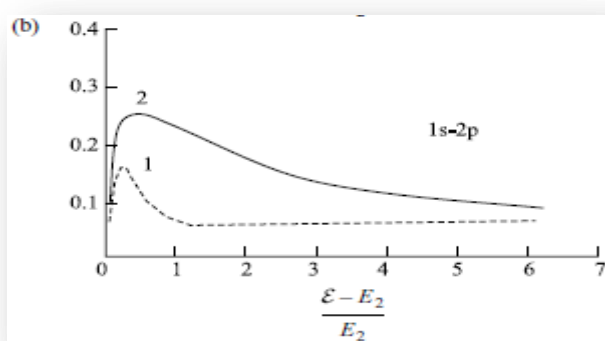
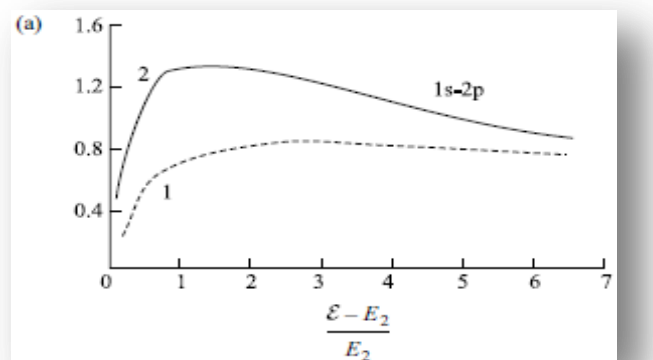
حيث : $U(\nu)$ كثافة الطاقة للإشعاع الطيفي , T : درجة الحرارة , $\nu = \frac{\omega}{2\pi}$ التردد ،

وتوزيع الذرات بين مستويات الطاقة ثابتة من خلال توزيع بولتزمان[17] :

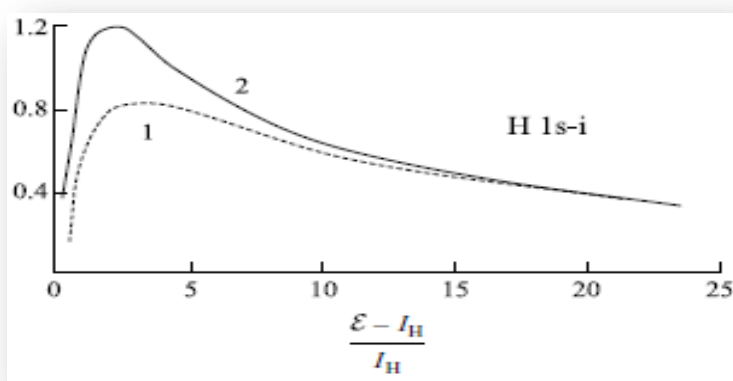
$$W_n = g_n \exp\left(-\frac{E_n}{KT}\right) \quad (13 - II)$$

$$\frac{n_i}{n_j} = \frac{g_i}{g_j} \exp\left(-\frac{\Delta E_{ij}}{KT}\right) \quad (14 - II)$$

حيث g_i و g_j الوزن الإحصائي للمستويين n_i و n_j



الشكل (II - 5) المقاطع الفعلية الفعلية (في وحدة πa_0^2) لـ (a) الانتقال المسموح $1s-2p$ والممنوع $1s-2s$ (b) لذرة الهيدروجين : (1) التجربة ، (2) تجريب [1](Sobel'man et al., 1981) (تعديل BORN)



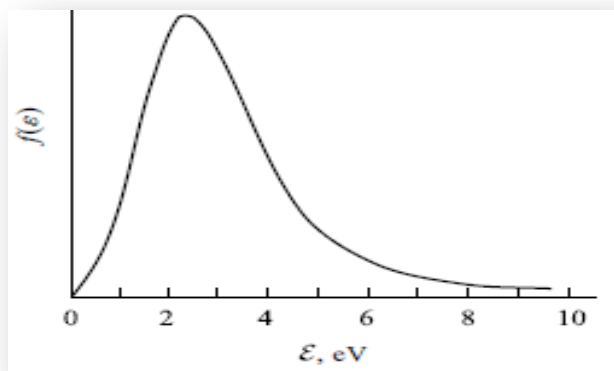
الشكل (II - 6) المقاطع الفعال الفعلي (في وحدة πa_0^2) لتأين ذرة الهيدروجين انطلاقاً من الحالة الأساسية: (1) التجربة و (2) تجريب [1] BORN.

يتم تحديد توزيع الإلكترونات بدلالة الطاقة من قبل توزيع ماكسوal المستمد من توزيع سرعة الذرات (II - 8) كما يلي [1]:

$$f(\varepsilon) = \frac{2}{\sqrt{\pi}} T^{-3/2} \frac{1}{\sqrt{\varepsilon}} e^{-\varepsilon/T} \quad (15 - II)$$

وللسهولة تكتب وكذا درجة الحرارة T في وحدة الطاقة (1 eV = 11605 K).

الشكل (II - 7) يوضح توزيع الإلكترونات الغاز مع $T_e = 10^4 K$ و $kT_e \approx 1 eV$, يمكن للإلكترونات في ذيل هذا التوزيع أن تثير مستويات الطاقة في معظم الذرات فيما عدا الهيدروجين والهيليوم والتي تتطلب طاقة من 10 إلى 20 eV لإثارة إلكتروناتها.



الشكل (II - 7) توزيع ماكسوal لطاقة الإلكترون في مجموعة الإلكترون

$$T_e = 10^4 K$$

يوضح توزيع الذرات على مختلف مراحل التأين (i) من خلال توزيع ساها (Saha) [1]:

$$\frac{N^{(i+1)}}{N^{(i)}} = \frac{g_{i+1}}{g_i} \frac{2}{n_e} \left(\frac{mkT_e}{2\pi\hbar^2} \right)^{3/2} e^{-E_i/kT_e} \quad (16 - II)$$

أين E_i : طاقة تأين الذرة . A_i

n_e : كثافة الإلكترونات الحرة في درجة الحرارة T_e

g_i : الوزن الإحصائي للحالة الأساسية للذرة A_i ($Z=1$) (يتواافق مع ذرة محایدة). في درجة حرارة عالية و في الذرات المعقدة يتم استبدال الأوزان الإحصائية بدوال التقسيم

للحالات المثارة . فمن المعتمد أن يعبر عن طاقة التأين بالإلكترون فولط ($1 \text{ eV} = 1.602 \times 10^{-12} \text{ erg}$), تأين العناصر الأكثر وفرة هما الهيدروجين والهيليوم .

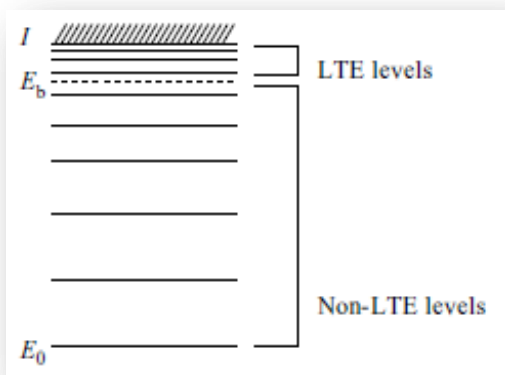
II-1-6- خارج - (التوازن الحراري المحلي Non-LTE) الوسط الفيزيائي الفلكي:

لاحظ العلماء أن هناك إنحراف بالنسبة للتوازن الحراري المحلي LTE في الغلاف النجمي عندما تنخفض كثافة البلازما ، و يتحقق التوازن الحراري المحلي LTE في الطبقات العميقه من الغلاف أين يحدث تأين الذرات أساسا عن طريق التصادم ، في هذه الطبقات العميقه يحدد توزيع الإسكان على مستويات الذرات (الأيونات) و حالات التأين المجاورة بتوزيع بولتزمان - ساها و يحدد تردد توزيع الإشعاع بواسطة توزيع بلانك [1].

تنقص لائحة التصادمات نحو الطبقات العليا في الغلاف النجمي ، و منه ففي الطبقات العليا تكون إثارة الذرات بالتصادم أقل بالنسبة لإثارتها من خلال عمليات الإشعاع , ومنه فإن في الطبقات العليا قليلة الكثافة عمليات الإشعاع هي المهيمنة في الغلاف النجمي، و بالتالي عدد سكان المستويات أقل بكثير من حد التأين ، و لا يحدد درجة حرارة الإلكترون T_e لكن يحدد عن طريق درجة حرارة الإشعاع الفعال في تردد إثارة الفوتونات .

يتضح التغيير من LTE إلى Non-LTE في الشكل (II - 8), حيث E_b هي الحدود التقليدية لطاقة الإثارة بين أنظمة Non-LTE و LTE المتعلقة بمستويات الطاقة العلوية و السفلية على التوالي ، هذه الحدود تعتمد على كثافة البلازما ، أي تأخذ الحدود في الارتفاع عندما تنخفض الكثافة [1] .

بالتالي فإن الانحراف عن LTE في الأوساط الفلكية مشروط بكون توزيع الطاقة للجسيمات الحرة (ذرات و إلكترونات، أيونات) يمكنها في بعض الأحيان أن لا تتميز بدرجة حرارة واحدة [1].



الشكل (8 - II) انتقال إسكان LTE المستويات المثارة إلى إسكان المستويات

المنخفضة – non-LTE اعتماداً على كثافة البلازما .

يعبر عن الإسكان $N_n(\text{non-LTE})$ للمستوى الذري b_n بحد السكان لنفس المستوى $N_n(\text{LTE})$, في التوازن الحراري المحلي نستخدم المعامل [1]:

$$N_n(\text{non-LTE}) = b_n N_n(\text{LTE}) \quad (17 - \text{II})$$

أين يتم تحديد السكان $N_n(\text{LTE})$ من خلال توزيع بولتزمان و ساها ,

و المعامل b_n يميز درجة تحويل سكان الحالة N_n من التوازن الحراري المحلي .

لأجل الليزر الفلكي من الضروري أن b_n لبعض مستويات الطاقة يمكن أن يكون أكبر بكثير من 1, و لما يكون المعامل $1 < b_n$ قد تحدث طاقة حوالى $E_b \approx E$ انظر الشكل (8 - II) , حيث المستوى العلوي يثار بواسطة التصادم , في حين يتم إفراغ المستوى الأقل بسبب الانتقالات الإشعاعية السريعة إلى المستويات الأدنى , احتمال حدوث هذه العملية أساساً التشكل ما يسمى ليزر الفيزياء الفلكية[1].

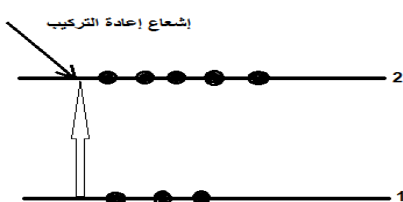
II.2. عمل الليزر في الأوساط الفلكية

II.2.1. تركيب الليزر الفلكي :

إن تركيب الليزر الفلكي غير تركيب الليزر المخبري فالليzer الفلكي وجد ظاهرة طبيعية دون أي تدخل من الإنسان. رغم هذا فإن الليزر الكوني أو الطبيعي يحتوي على كل الأجزاء الرئيسية للليزر المخبري ، فهو يتكون من :

- **المرنان الضوئي (An optiqal resonator)** : في حالة الليزر الكوني المرنان لا يحتوي على عاكس للضوء (المرآتين) من أجل عملية تضخيم الضوء , يعوض عن ذلك بالطول الكبير للوسط الفعال. حيث أن المسافة التي يقطعها الإشعاع في الفلك كبيرة جداً أي طول الوسط الفعال كبير جداً من رتبة المسافات الفلكية كافية للتضخيم.
- **الوسط المظخم (An active medium)** : وهو عبارة عن بلازما في حالة تمدد و تخضع لعملية إعادة التركيب .

- **مصدر إشعاع الضخ** : عبارة عن بلازما في حالة تمدد و تخضع لعملية تبريد نتيجة هذا التمدد مما يزيد من عدد الفوتونات الناتجة عن إعادة التركيب و تكون أكبر من عدد الفوتونات الممتصة بفعل التأين ، و وبالتالي ينتج إشعاع في الوسط الفعال ، هذا الإشعاع هو المسؤول عن عملية ضخ الوسط الفعال و يسمى إشعاع إعادة التركيب.



الشكل (II-9) الضخ بواسطة إشعاع إعادة التركيب

في حالة التوازن الكهروحراري يكون هناك توازن بين عدد الذرات المتأينة وعدد الذرات الغير متأينة وتعطى بقانون Saha .

2.2.II معادلة ساها (Saha):

- مجال صحة معادلة Saha :

معادلة ساها تعطي بدلالة مستوى تأين العنصر $i + 1$ بالنسبة لمستوى i يتطلب أن يكون الغاز في حالة توازن حراري (على الألف محليا) و الكثافات تكون منخفضة بما فيه الكفاية، بحيث أن متوسط المسافة بين الذرات هو أكبر من حجم هذا المدار المرتبط بالمستوى ذات الطاقة العالية [5].

على سبيل المثال، في حالة ذرة الهيدروجين، نصف قطر بور للمستوى n هو [5]:

$$a_n = (n + 1)^2 \frac{\hbar^2}{m_e e^2} = 5.28 \cdot 10^{-9} (n + 1)^2 \text{ cm} \quad (18-II)$$

وبالتالي فإن كثافة الذرات هي:

$$\rho \sim \frac{m_A}{4/3\pi(2a_0)^3} \sim 0.3 \text{ } \mu\text{g cm}^{-3} \quad (19-II)$$

في التطبيق معادلة ساها تبدأ من المسافة $\sim 10a_0$ و هو ما يعادل $\sim 2.7 \cdot 10^{-3} \text{ g cm}^{-3}$

- اشتاقاق معادلة Saha :

معادلة Saha تم اشتاقاقها إنطلاقاً من قانون بولتزمان الذي ينص على نسبة عدد الذرات في المستوى i إلى عدد الذرات في المستوى j وهي [17]:

$$\frac{n_i}{n_j} = \frac{g_i}{g_j} e^{-\Delta E_{ij}/KT} \quad (20-II)$$

حيث g_i و g_j الوزن الإحصائي للمستوى i و j على الترتيب.

ΔE_{ij} : هو الفرق في الطاقة بين المستويين i و j .

نسبة عدد الذرات في المستوى i إلى العدد في جميع المستويات هي كالتالي:

$$\frac{n_i}{n} = \frac{g_i}{g_0 e^{+\Delta E_{i0}/KT} + g_1 e^{+\Delta E_{i1}/KT} + g_2 e^{+\Delta E_{i2}/KT} + \dots} \quad (21-II)$$

حيث لدينا $\Delta E_{ij} = (E_i - E_j)$

و منه

$$\frac{n_i}{n} = \frac{g_i e^{-E_i/KT}}{g_0 + g_1 e^{-E_1/KT} + g_2 e^{-E_2/KT} + \dots}$$

ندخل المتغير u دالة التقسيم للذرات (أو الأيونات) (fonction de partition)، لأن u متغير بدلالة درجة الحرارة فإنه يكتب في العادة (T) u و نكتب النسبة كما يلي:

$$\frac{n_i}{n_j} = g_i \frac{e^{-E_i/KT}}{u} \quad (22-II)$$

أين E_i هي الفرق في الطاقة بين المستوى i والمستوى الأساسي.

الآن نعم هذه المعادلة على الإلكترونات في الحالة الحرة و لتكن n_i عدد الذرات في المستويات ، و ليكن المستوى $1 + i$ أين تكون إثارة الإلكترون في إستمرارية عندما تكون كمية الحركة في المجال (P و dp) فإن طاقة الإلكترون تعطي ب :

$$E_e = \frac{P_e^2}{2m_e} \quad (23-II)$$

و بالتالي تكتب معادلة بولتزمان كما يلي:

$$\frac{dn_{i+1}}{n_i} = \frac{dg_{i+1}}{u_i} \exp\left(-\frac{E_i + \frac{P_e^2}{2m_e}}{KT}\right) \quad (24-II)$$

حيث (E_i) : هي الطاقة اللازمة لتأمين المستوى الأساسي.

: الوزن الإحصائي لمستوى التأمين.

- و الآن نعتبر أن dg_i يتكون من عنصرين هما:

أحدهما هو الأيون g_{i+1} ، و الثاني هو الإلكترون الحر dg_e .

الأول هو الوزن الإحصائي للمستوى الأساسي للأيون، في حين الثانية يمكن حسابها باستعمال قاعدة الاستثناء (The Exclusion Rule) (الحالة المعطاة لكل نوعاً كvantومي طور الفضاء قد تتكون من إلكترونيين إثنين فقط (Spin up and spin down)

عدد الحالات المنحطة (degenerate states) في الحجم h^3 هو:

$$dg_e = 2 \frac{d^3x d^3P}{h^3} = 2 \frac{dV d^3P}{h^3} = \frac{2}{h^3} dV 4\pi P^2 dP \quad (25 - II)$$

$$\frac{dn_{i+1}}{n_i} = \frac{8\pi P_e^2}{h^3} \frac{g_{i+1}}{u_i(T)} \exp\left(-\frac{E_i + \frac{P_e^2}{2m_e}}{KT}\right) dV dP \quad (26 - II)$$

و لدينا عدد الإلكترونات في الحجم

$$\int dV = \frac{1}{n_e} \quad (27 - II)$$

بالتالي فإن إجمالي عدد الإلكترونات في كل المستويات المستمرة هو:

$$\frac{n_{i+1}}{n_i} = \frac{g_{i+1}}{u_i(T)} \frac{8\pi}{n_e h^3} e^{-E_i/KT} \int_0^\infty P_e^2 \exp(-\frac{P_e^2}{2m_e KT}) dP \quad (28 - II)$$

إذا وضعنا $\chi^2 = P_e^2 / 2m_e KT$

$$\frac{n_{i+1}}{n_i} = \frac{g_{i+1}}{u_i(T)} \frac{8\pi}{n_e h^3} e^{-E_i/KT} \int_0^\infty (2m_e KT) x^2 e^{-x^2} \cdot (2m_e KT)^{1/2} dx$$

$$\frac{n_{i+1}}{n_i} = \frac{g_{i+1}}{u_i(T)} \frac{8\pi}{n_e h^3} e^{-E_i/KT} (2m_e KT)^{3/2} \int_0^\infty x^2 e^{-x^2} dx \quad (29 - II)$$

و لدينا $\int_0^\infty x^2 e^{-x^2} dx = \frac{\sqrt{\pi}}{4}$ و منه:

$$\frac{n_{i+1}}{n_i} = \frac{g_{i+1}}{u_i(T)} \frac{8\pi}{n_e h^3} e^{-E_i/KT} (2m_e KT)^{3/2} \cdot \frac{\sqrt{\pi}}{4}$$

و منه

$$\frac{n_{i+1}}{n_i} = \frac{2}{n_e} \frac{g_{i+1}}{u_i(T)} \frac{(2\pi m_e KT)^{3/2}}{h^3} e^{-E_i/KT} \quad (30 - II)$$

وأخيرا نلاحظ أن العملية الحسابية أعلاه لـ n_{i+1} تصف ذرات الأنواع n_i التي لها إلكترون واحد في المستوى المسمى (the continuum state) أي المتأين ،

وأن n_{i+1} لا تعتبر نفس الذرات المثارة (و بعبارة أخرى n_{i+1} في العبارة (30 - II) تشمل فقط الذرات المتأينة من المستوى الأساسي) .

- و من أجل n_{i+1} تشمل جميع مستويات الإثارة، علينا أن نلخص مرة أخرى كل المساهمات بنفس الطريقة تماما كما فعلنا في العبارة (II - 22) و هكذا فإن الوزن الإحصائي في العبارة (II - 30) ينبغي أن تحل محله دالة التقسيم فنكتب:

$$\frac{n_{i+1}}{n_i} = \frac{2}{n_e} \frac{u_{i+1}(T)}{u_i(T)} \frac{(2\pi m_e K T)^{3/2}}{h^3} e^{-E_i/KT} \quad (31 - II)$$

و بالإختصار يمكن أيضا كتابتها من الشكل:

$$\frac{n_{i+1}}{n_i} = \frac{2}{n_e} \frac{g_{i+1}}{g_i} \frac{(2\pi m_e K T)^{3/2}}{h^3} e^{-E_i/KT} \quad (32 - II)$$

وهي معادلة Saha التي تربط بين عدد الذرات في المستوى التأين $i + 1$ إلى عدد الذرات في مستوى التأين i أين:

n_{i+1} : كثافة الذرات في مستوى التأين (m^{-3})

n_i : كثافة الذرات في مستوى التأين i

n_e : كثافة الإلكترون (m^{-3})

$u_{i+1}(T)$: دالة التقسيم لمستوى التأين $i + 1$

$u_i(T)$: دالة التقسيم لمستوى التأين i

m_e : كتلة الإلكترون $(kg m_e = 9.11 \cdot 10^{-31})$

E_i : طاقة التأين لمستوى i

T : درجة الحرارة.

h : ثابت بلانك $(h = 6.62606 \cdot 10^{-34} JS^{-1})$

$K = 1.381 \cdot 10^{-16}$: ثابت بولتزمان

و من المعتمد أن يعبر عن طاقة التأين بالإلكترون فولط ($1ev = 1.602 \cdot 10^{-12} erg$) ، و تأين العناصر الأكثر وفرة هما الهيدروجين و الهيليوم، فمن المهم لمعادلة الحالة إعطاء بعض العناصر :

- تأين الهيدروجين: $E(H) = 13.54 ev$ و $\frac{2g_{i+1}}{g_i} = 1$
- التأين الأول للهيليوم: $E(H_eI) = 24.48 ev$ و $\frac{2g_{i+1}}{g_i} = 4$
- التأين الثاني للهيليوم: $E(H_eII) = 54.17 ev$ و $\frac{2g_{i+1}}{g_i} = 1$

لرسم تغيرات $\frac{n_1}{n_0}$ بدلالة T نستعمل القيم التالية :

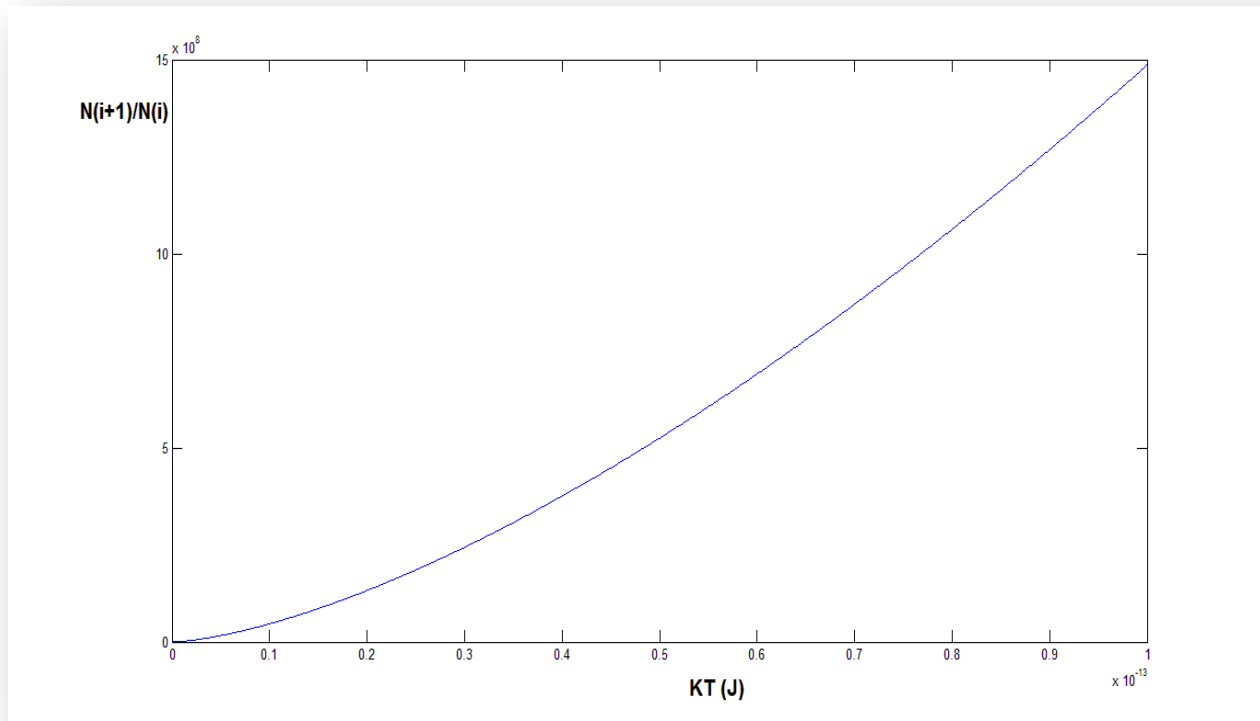
$$m_e = 9.11 \cdot 10^{-31} kg$$

$$h = 6.62606 \cdot 10^{-34} JS^{-1}$$

$$E(H) = 13.54 ev = 21.664 \cdot 10^{-19} J$$

$$\frac{2g_i}{g_0} = 1$$

$$n_e: 5 \cdot 10^{25} m^{-3} \leq n_e \leq 2 \cdot 10^{27} m^{-3}$$



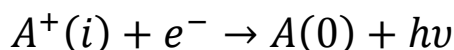
الشكل (II-10) يمثل منحنى تغيرات النسبة $\frac{n_{i+1}}{n_i}$
بدالة درجة الحرارة T

من المنحنى البياني نلاحظ أنه كلما زادت درجة الحرارة زادت النسبة $\frac{n_{i+1}}{n_i}$ ، ولكن كلما زادت الكثافة انخفضت النسبة $\frac{n_{i+1}}{n_i}$ نظراً إلى احتمال أكبر لإعادة الترکيب.

II.3. حساب نسبة الضخ في الليزر الفلكي بدلالة درجة الحرارة:

نعتبر بلازما في حالة تمدد. نعتبر هذا التمدد كظوم ومن أجل التبسيط البلازما تبقى محكومة بقانون توازن ساها-بولتزمان.

التضخيم الإشعاعي مصدره إشعاع إعادة التركيب المتعلق بالانتقال من الحالة المتأينة(1) إلى الحالة الذرية(0) :



في الحالة التي تكون هناك درجة حرارة ثابتة يكون هناك توازن بين التأين وإعادة التركيب وبالتالي تمتضى كل الفوتونات الناتجة عن إعادة التركيب في عملية التأين. في هذه الحالة لا يكون لدينا في المحصلة إشعاع إعادة التركيب الذي من شأنه أن يلعب دور الضخ الإشعاعي في الليزر الكوني.

إذا أخذنا في عين الاعتبار التبريد الذي تخضع له البلازما نتيجة لتمددها في الفضاء نجد أن نسبة عمليات إعادة التركيب تصبح أكبر من عمليات التأين. وبالتالي ينتج في المحصلة إشعاع إعادة التركيب.

إنطلاقاً من قانون التوازن لساها-بولتزمان (المعادلة II - 32) على اعتبار درجة حرارة البلازما متناقصة في الزمن: $T = T(t)$.

- تتغير درجة الحرارة للبلازما في حالة تمدد بسرعة $C_s = \sqrt{\frac{ZT}{m_i}}$ يمكن حسابها من معادلة فلاسوف في إطار النظرية الحركية للبلازما كما يلي :

$$T(t) = \frac{T_0}{1 + \frac{t^2}{\tau^2}} \quad (33 - II)$$

حيث T_0 هي درجة الحرارة الإبتدائية و τ هو الزمن المعياري للتمدد.

نسبة المضخة في هذه الحالة يمكن حسابها كما يلي:

$$W_p = \frac{2g_i}{g_0} \left(\frac{m}{2\pi\hbar^2} \right)^{\frac{3}{2}} \frac{2tT_0}{\tau^2 \left(1 + \frac{t^2}{\tau^2} \right)^2} \frac{\left(\frac{3}{2} T^{\frac{1}{2}} + IT^{-\frac{1}{2}} \right)}{\frac{4g_i}{g_0} \frac{1}{n_e} \left(\frac{mT}{2\pi\hbar^2} \right)^{\frac{3}{2}} + \left(\frac{g_i}{g_0} \right)^2 \frac{1}{n_e^2} \left(\frac{mT}{2\pi\hbar^2} \right)^3 e^{-I/T}} \quad (34 - II)$$

المنحنى البياني الممثل في الشكل (II-11) يبين تغيرات نسبة المضخة W_p بدلالة الزمن t حيث لدينا:

$$m_e = 9.11 \cdot 10^{-31} kg$$

$$\hbar = 1.05457 \cdot 10^{-34} JS^{-1}$$

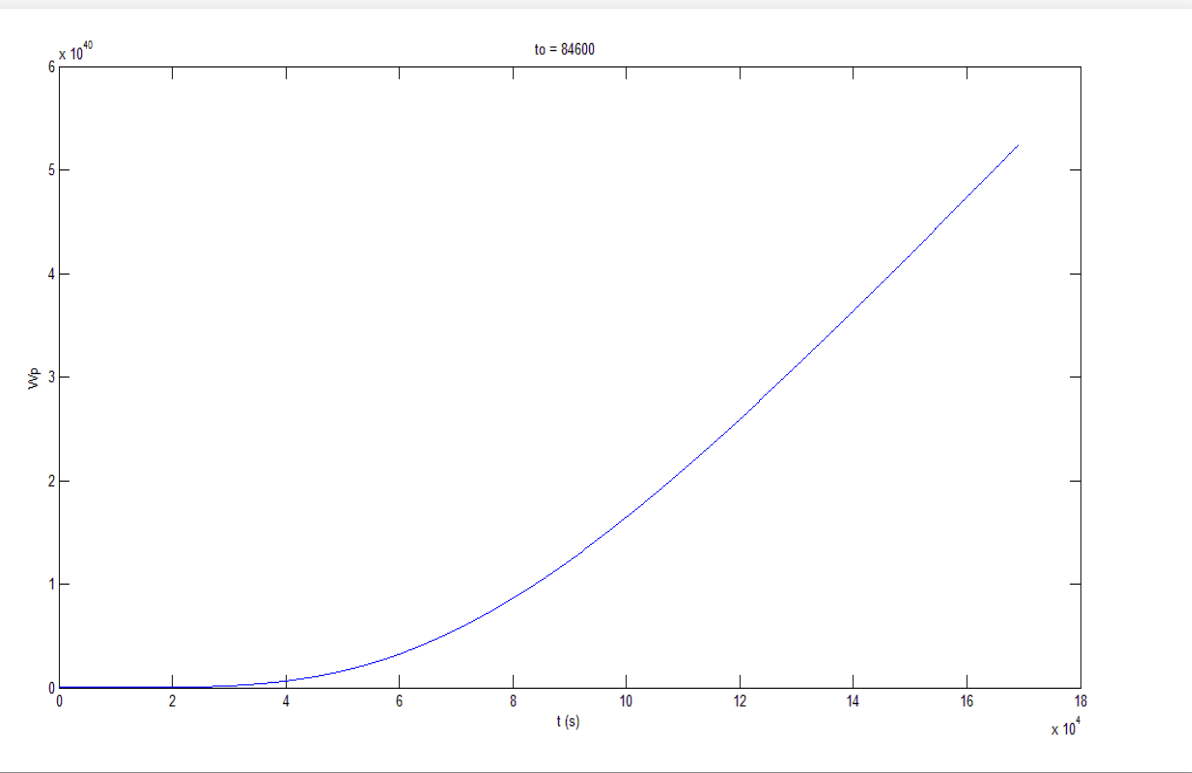
$$T_0 = 1 ev = 1.6 \cdot 10^{-19} J$$

$$E(H) = 13.54 ev = 21.664 \cdot 10^{-19} J$$

$$\frac{2g_i}{g_0} = 1$$

$$n_e: 5 \cdot 10^{25} m^{-3} \leq n_e \leq 2 \cdot 10^{27} m^{-3}$$

البيان يبين أن نسبة المضخة تتناسب طرديا مع الزمن أي أن نسبة المضخة في حالة تزايٍد مع مرور الزمن



الشكل (11-II) يمثل منحنى تغير انتسبة المضخة W_p بدلالة الزمن t

المنحنى البياني الممتنع في الشكل (II-12) يمثل تغيرات درجة الحرارة T بدلالة الزمن t

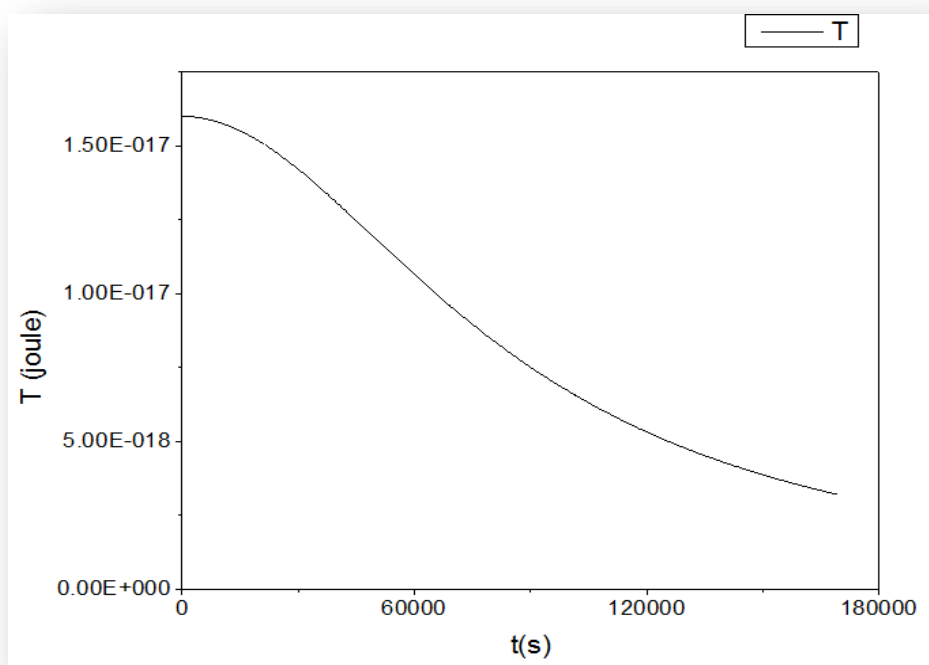
$$T(t) = \frac{T_0}{1 + \frac{t^2}{\tau^2}}$$

بأخذ القيم التالية:

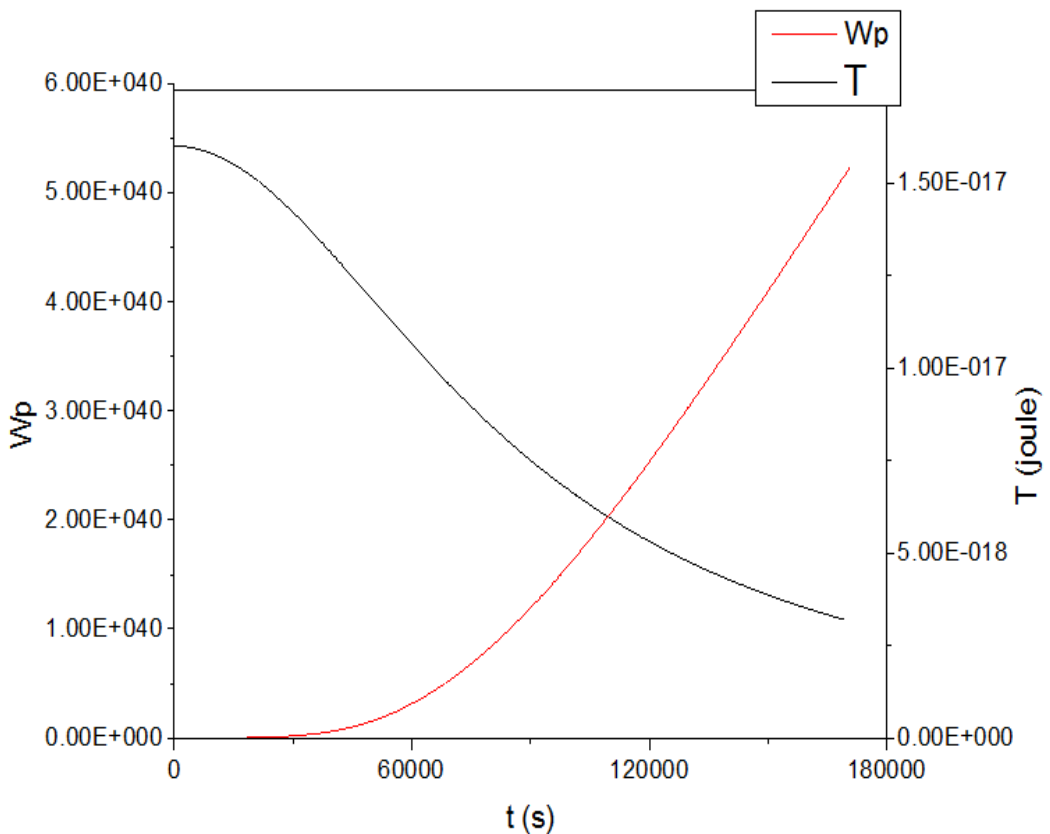
$$\tau = 86400\text{s}$$

$$T_0 = 160 \cdot 10^{-19} \text{ eV}$$

من البيان نجد أن كلما زاد الزمن نقصت درجة الحرارة ، أي في حالة تمدد البلازما مع مرور الزمن فإنه تحدث تبريد لهذه البلازما



الشكل (II-12) يمثل منحنى تغيرات درجة الحرارة T بدلالة الزمن t



الشكل (13-II) (يمثل منحني تغيرات نسبة المضخة W_p و درجة الحرارة T بدلالة الزمن t)

بمقارنة تغيرات نسبة المضخة W_p مع درجة الحرارة T في الشكل (13-II) نجد أن نسبة المضخة تكون موجبة في حالة درجة الحرارة المتناقصة، أي كلما ابتعدنا عن سطح النجم يكون هناك تناقص في درجة الحرارة مع تمدد البلازما أي يحدث لها تبريد (تناقص في درجة الحرارة) فيكون هناك تزايد في انطلاق أشعة إعادة التركيب و هي المتناسبة في زيادة نسبة المضخة W_p .

II. 4. نتائج الرصد المتعلقة بالليزر

العمليات الأولية لإثارة الذرات تعمل في كل من المختبر وأشعة الليزر الفلكي، هذه العمليات مفيدة خاصة على مقترحات انعكاس السكان بواسطة التصادمات، هنا نلخص العديد من نتائج الرصد المتحصل عليها أثناء البحث .

II. 4. 1. HeI و HeII في الأغلفة النجمية

كان يستخدم في البحث عن قلب الإسكان في التحولات $\text{H}_{\text{e}}\text{II}$ و $\text{H}_{\text{e}}\text{I}$ حسابات النماذج التالية: إثارة الإلكترون، العودة عن الإثارة، التأين وإعادة التركيب مع الإلكترونات والاضمحلال الإشعاعي [1].

بالنسبة لسميث Smith سنة (1969) اعتبر أبسط بنية للذرة وقلب الإسكان في الانتقالات المسموحة في المجال الضوئي [1], (الانتقال $n = 4 \rightarrow n = 3$) $4686A^0$ و $H_{\text{e}}\text{II}$ ($4686A^0$, $n = 4 \rightarrow n = 3$) $7281A^0$, $3^1S - 2^1P^0$, $6678A^0$, $3^1D - 2^1P^0$, $4921A^0$, $4^1D - 2^1P$

الحسابات أدت إلى أن كثافة قلب الإسكان $\Delta N \approx 10^4 - 10^5 \text{ cm}^{-3}$ أصغر بكثير بالنسبة لكثافة الهيليوم $N(H_{\text{e}}) \approx 10^{13} - 10^{15} \text{ cm}^{-3}$ وهذا يتطابق مع ذلك فإن نطاقات القيم المعلمة لتحقيق مكافئ إيجابية هي ضيقة نسبيا.

اقترح Varshin و زملائه العمل على أن هذه القيم المعلمة قابلة للتحقيق في طبقات سطح نوع من النجوم الأولى و خاصة مع النجوم ذات درجة حرارة عالية مع ارتفاع معدل فقدان الكتلة [1] (Mass-loss).

التوسيع السريع في البلازما الفلكية (مثل الغلاف الموسع للنجم وWolf-Rayet) ينبغي أن يؤدي التبريد السريع إلى إعادة التركيب،

إن مراقبة عمل الليزر في هذه الانتقالات ستكون صعبة جدا بسبب ارتفاع شدة الانبعاث التلقائي في الخطوط المسموحة ، فالانبعاث المستحدث يمكن أن يسفر بعض التحسينات في الشدة نتيجة للتقارب بين معدل انتقال الانبعاث المستحدث و معدل التصادم (الغير اشعاعي

(Non-Radiation لقب الإسكان ، و هناك تأثير كبير للليزر يمكن أن يكون متوقع في الخطوط الممنوعة أو انتقالات إعادة التركيب بين المستويات الأكثر إثارة في نطاق الأشعة تحت الحمراء البعيدة.

II. 2.4. السدم :

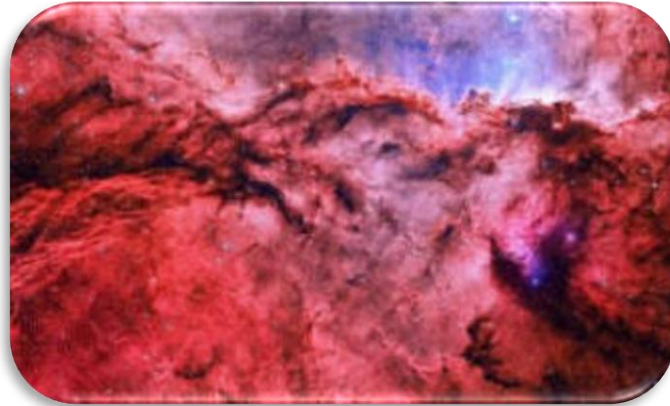
السدم في الغالب منطقة ولادة النجوم، ففي هذه المناطق تتواجد تشكيلات كبيرة من الغاز والغبار وغيرها من المواد، و التي تجتمع معاً لتشكيل كتل أكبر، و التي بدورها تبدأ في جذب المزيد من المادة المنتشرة في السدم، و في النهاية سوف تصبح هائلة بما يكفي لتشكيل نجم أو أكثر، فتشكل النجوم الضخمة في مركز السدم.

يمكن رأيتها السدم نتيجة تأين الغاز المحيط بها بتأثير الأشعة فوق البنفسجية، و الذي يساعد على جعلها مرئية في الموجات الضوئية، و تأخذ النجوم الجديدة في التشكيل و يطلق عليها حينئذ النجوم الشابة أو الناشئة، مكونة تجمع نجمي حر.

- السديم الإشعاعي (الانبعاثي)

هو سديم يلمع ويعاد ضوئه الخاص نتيجة اتحاد الإلكترونات بالبروتونات لتشكيل ذرات الهيدروجين، يحدث ذلك عندما يقترب الإلكترون من البروتون فيحدث تولد للطاقة تظهر على شكل ضوء أحمر، وحيث أن هذه العملية تحدث لغالبية الذرات داخل السديم في الوقت نفسه فإنه يظهر باللون الأحمر.

ينشأ هذا السديم نتيجة انبعاث الأشعة فوق البنفسجية من نجم ما ساخن جداً على سحابة من غاز الهيدروجين، وتحدث نتيجة لذلك عملية تأين للذرات (انتزاع الإلكترونات من الذرات)، ومن الممكن أن تبدأ الإلكترونات الحرة بعد ذلك في عملية الاتحاد والاندماج، وغالباً ما تكون تلك السدم هي من بقايا توالد النجوم الضخمة.



تسمى أيضاً مناطق بلازما الهيدروجين (HII)، وتعود هذه التسمية إلى أنها مؤلفة في الغالب من بلازما الهيدروجين المؤين والكترونات الحرة، حيث أن ذرات الهيدروجين الموجودة في الوسط بيننجمي تتأين بتأثير الإشعة فوق البنفسجية من نجم أو أكثر يتواجدون في مكان قريب من السديم، وتكون فقط النجوم الحارة جداً من التصنيف النجمي O أو B أو A، وهي النجوم الفتية في العادة، هي التي تتسبب في ذلك حيث إن لها القدرة على إصدار إشعة فوق البنفسجي كافية لتأين الهيدروجين، أما الطاقة الفائضة بعد تأين الهيدروجين تتحول إلى طاقة حركية للألكترونات، في النهاية وخلال التصادم تصبح الطاقة مشتركة مع جزيئات الغاز الأخرى، ويحدث توازن في السديم عندما تصل درجة حرارة هذه الطاقة الحركية بين 7,000 كيلفن و 20,000 كيلفن.

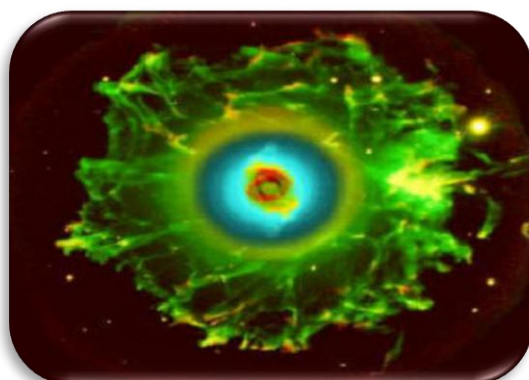
تتراوح كتلة السديم عادةً من 100 إلى 10,000 كتلة شمسية، ويمكن أن تنتشر في مساحة أقل من سنة ضوئية واحدة إلى عدة مئات السنين الضوئية. ولهذا السبب تتفاوت كثافاتهم إلى حد كبير، فتتراوح من ملايين الذرات لكل سنتيمتر مكعب إلى فقط بضعة ذرات لكل سنتيمتر مكعب اعتماداً على ضغط السديم، وعادةً ما تكون الكثافة حوالي ألف ذرة لكل سنتيمتر مكعب، ودرجة حرارتها المتوسطة 10,000 كيلفن تقريباً.

يعتمد لون السديم على تركيبه الكيميائي ودرجته تأينه، الأكثر شيوعاً يكون أحمر اللون ويعود سبب ذلك إلى انتشار الهيدروجين بين النجوم، وحيث أن طاقة تأينه منخفضة نسبياً، ولكن إذا توافرت طاقة أكبر وعناصر أخرى ستتأين و إن السديم قد يبدو بألوان أخرى مثل الأخضر

والأزرق ، ومعظم سدم هذا النوع يتكون من 90 % من الهيدروجين، والباقية من الهليوم والأكسجين والنتروجين وعناصر أخرى.

سديم الإشعاع الأكثر شيوعا هو حيث تتوارد سحابة من الغاز بين النجوم يسيطر عليها ذرات الهيدروجين المحايدة وتتأين تلك الذرات من نجم أو أكثر في مكان قريب من نوع O أو B. تبعث تلك النجوم الحارة واللامعة جدا كميات كبيرة من الأشعة فوق البنفسجية الغنية بالطاقة، حيث تقوم الفوتونات بفصل ذرات الهيدروجين المحايدة عن إكتناتها إلى نواة الهيدروجين وتتصبح الإلكترونات حرة طلقة، ثم تحدث ثانية عملية إعادة تركيب ذرة الهيدروجين المحايد مرة أخرى، لكنها تكون في حالة إثارة، وبينما تعود ذرة الهيدروجين المحايد إلى حالتها الأقل طاقة وتصدر فوتونات في أطوال موجة بصرية تقابل طول الموجة الحمراء للطيف المرئي، وهذا الذي يعطي سديم الإشعاع لونه الأحمر المتميز، وهذا واحد من احتمالات تشكل الليزر بين النجوم .

النوع المشترك الآخر لسديم الإشعاع هو السديم الكوكبي ، حيث أنه يشمل على قزم أبيض في المركز محاط بغيوم من الغاز نتيجة تطور النجم الأصلي إلى مرحلة القزم الأبيض. في هذه الحالة، الغاز المثار لا يكون بالضرورة هو الهيدروجين المحايد، لكنه يمكن أن يحتوي على كميات كبيرة من الهليوم المؤين (HeII) وبذلك يظهر السديم باللون الأزرق، أو أكسجين مؤين (OIII) وحينها يكون السديم ذو لون أخضر. وحيث أن الطاقة اللازمة لتتأين الهليوم أكبر بكثير من الهيدروجين، فإن المناطق الزرقاء في السدم الكوكبية تكون مناطق ساخنة وتشير إلى مناطق غازات ذات إثارة أعلى.



3.4.2.II :Wolf-Rayt النجم

النجم Wolf-Rayt يظهر بعض الخصائص الطيفية المحددة ، و المهم وجود خطوط إنبعاث عريضة بشكل رئيسي للهيليوم و أيضا النيتروجين وأحيانا الكarbon و الهيدروجين .



بوجود أو غياب أحد الخطوط الطيفية فإن القوة النسبية تسمح بتصنيف النجم Wolf-Rayt وهناك نوعان رئيسيان من فئات النجم وهم :

النجوم الغنية بالنитروجين (التصنيف WN) ، والغنية بالكاربون (التصنيف WC) ، و بالإضافة إلى ذلك يمكن تصنيف الصنف WN إلى فئتين فرعيتين :

النجوم (WNL) (Wolf N Late) والنجوم (WNE) (Wolf N Early) المبكرة وهذا التصنيف صالح أيضا للنجوم WC لكنه نادر الإستخدام .

يعتمد التصنيف الدقيق على نقاط القوة النسبية (La Force Relative) لخطوط معينة ، على النحو المحدد في نظام سميث - شارا - موفات (Smith, Shara et Moffat) ويمكن إستخدام هذا التصنيف لمناقشة مسار تطور النجوم ، عموما تتم كتابة المسار التطوري للنجم الضخم كما يلي:

→ → ORSG / JBWNLWNEWCSN

حيث: O النجم من النوع

RSG : النجم العملاق الأحمر

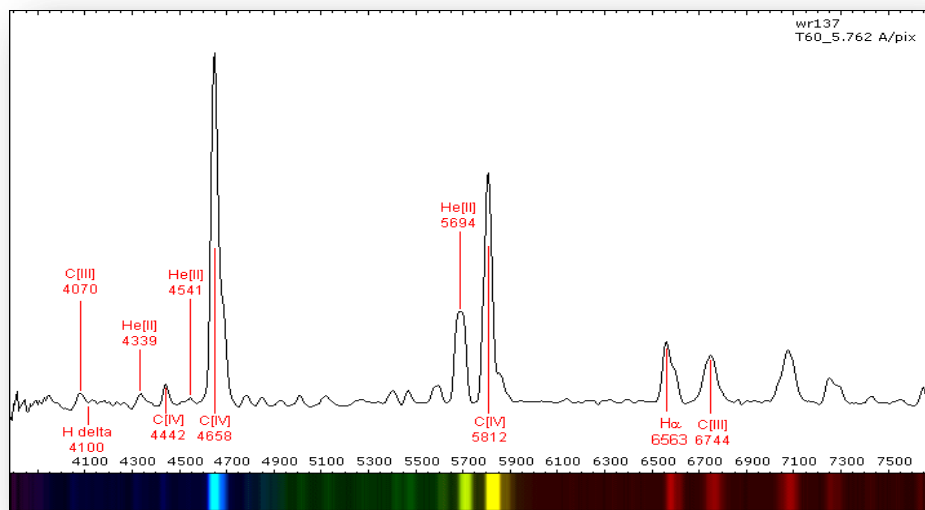
JBV : نجم أزرق مضيء متغير

SN : تعني السوبرنوفا (Supernova)

كل النجوم لا تمر من خلال جميع المراحل لأنها تعتمد على ثلاثة خصائص : الكتلة , سرعة الدوران , المعدن (métallicité)

الرسم البياني الشكل (14-II) هو طيف انبعاث النجم WR , أقوى هذه الإنبعاثات تأتي من الخط الأزرق للكARBON [C]IV في 4658nm و الإنبعاث الثاني من الخط الأصفر وهو أقل في 4070nm , و خطوط أخرى ضعيفة مثل [C]III في 5812 nm و 6744nm .

إنبعاث ضوء آخر وهو بسبب وجود الهيليوم وهي خطوط ضعيفة [He]II موجودة في 5694nm , 4541nm , 4339nm .



الشكل (14-II) طيف النجم (WR 137) من النوع الطيف 7

4.4.2-II سديم إيتا كارينا (Eta Carinae)

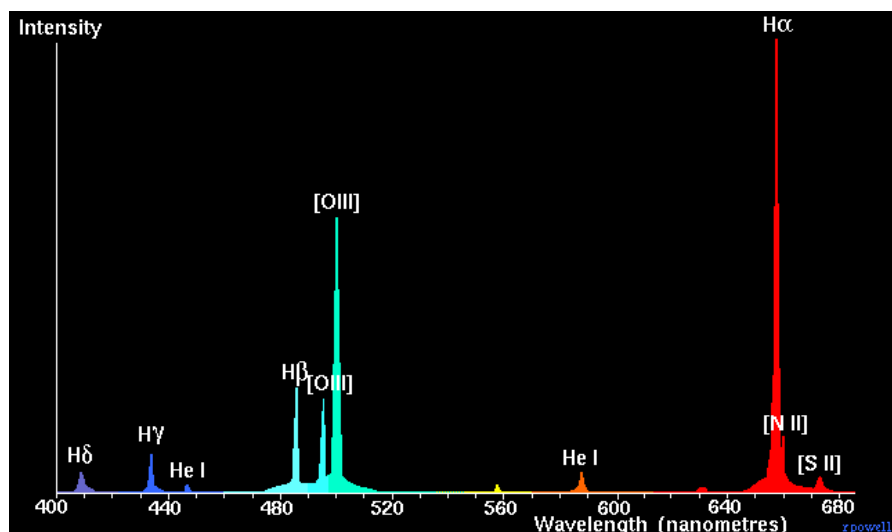
سديم أو سحابة القاعدة أو كارينا هي سحابة كونية عظيمة الإتساع ، تحيط عدة تجمعات نجمية مفتوحة و يرمز لها طبقاً للفهرس ب NGC 3372، يبعد عنا بحوالي 9000 سنة ضوئية في ذراع برج القوس من المجرة ، على الرغم من أن المسافة كبيرة إلا أن المنطقة الوسطى من هذا السديم هي مشرقة بما فيه الكفاية لرؤيتها بالعين المجردة



أكثر السدم نجدها مشرقة حمراء و السبب لأنها تتكون في معظمها من الهيدروجين ، فعندما يضيئ الهيدروجين يبعث منه ضوء أحمر ساطع .

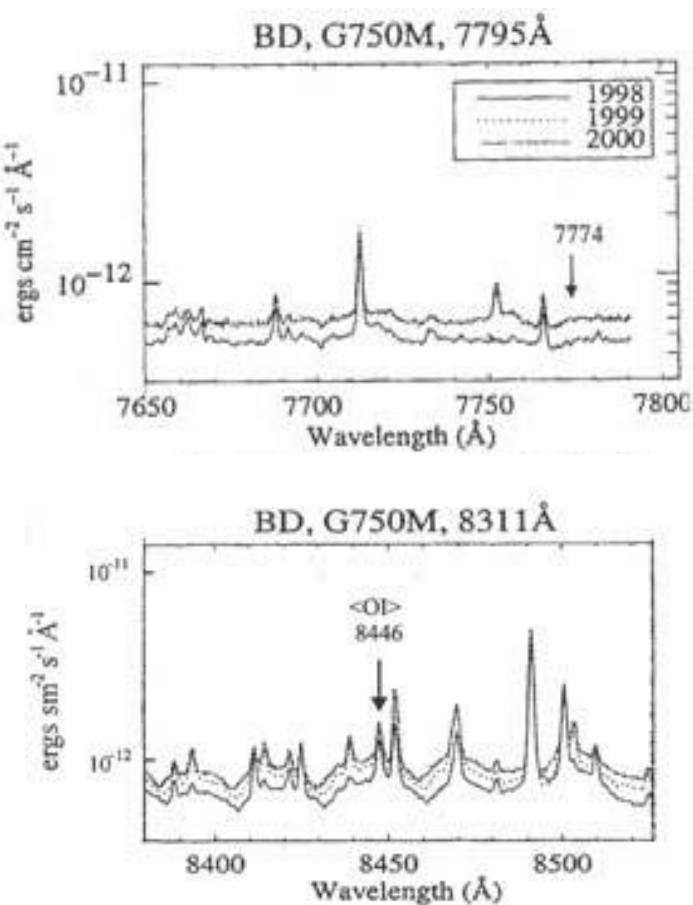
الرسم البياني الشكل (II-15) يدل على شدة الضوء الصادر أو هو الطيف النموذجي لإنباث هذا السديم ، أقوى هذه الإنبعاثات تأتي من الخط الأحمر للهيدروجين - ألفا(H α) في 656nm و أيضاً الهيدروجين يبعث ضوء أزرق لكنه أضعف (من 410nm إلى 486nm).

إنبعث ضوء آخر مهم و هو بسبب وجود الأكسجين [III] O و هما خطين (501nm و 496nm) ، هذا النوع من الضوء غالباً ما يكون هو الأقوى في السدم الكوكبية فيعطيها اللون الأزرق والأخضر المميز ، وهذا واحد من احتمالات تشكل الليزر بين النجوم



الشكل (15-II) طيف إشعاع السديم Eta Carinae

5. حساب كثافة البلازما بتحليل خط الليزر النجمي 2.II



الشكل (16-II) خطوط الطيف النجمي تحتوي على [OI] 8446

الشكل(II - 16) يبين خطوط الطيف النجمي الملقطة في ثلاثة سنوات متالية . حيث تم تمثيل خط الطيف الأول لسنة 1998 بخط غليظ ، وخط الطيف الثاني لسنة 1999 بخط متقطع ، وخط الطيف الثالث لسنة 2000 بخط رفيع .

من ملاحظة هذه الخطوط الثلاثة، نرى أن خط الطيف الأول يكون أعلى من خط الطيف الثاني ، وخط الطيف الثالث أقل أو أسفل منهماهذا دلالة على تناقص شدة الإشعاع مع مرور الزمن بسبب نقص الكثافة منه نستنتج أنه : كلما زادت البلازما في التمدد والبرودة ، نقص عدد الذرات (الكثافة) وبالتالي نقص شدة الإشعاع مع مرور الزمن .

II.2.6. دراسة فعل دوبلر في الليزر النجمي

هو تغيير ظاهري للتردد أو الطول الموجي للأمواج عندما ترصد من قبل مراقب متحرك بالنسبة للمصدر الموجي، يدعى هذا التأثير بتأثير دوبلر نسبة لدوبلر الذي اكتشف هذا التأثير عام 1842 [11].

تأثير دوبلر هو طريقة تستخدم في الفيزياء الفلكية من أجل تحديد سرعة النجوم من التحليل الطيفي للضوء الذي تبعثه هذه النجوم ، ترتكز هذه العملية على تطبيقين إثنين متميزين و هما نموذج توسيع الكون و الكشف عن النجوم المزدوجة[12].

فقد استخدمها العالم الفلكي الأمريكي هابل عام 1929 في رصد النجوم ، و اكتشف أن مجرة اندرودوميدا تقع خارج مجرتنا، وكانت دهشته كبيرة عندما وجد عن طريق ظاهرة دوبلر أن كل تلك المجرات تبتعد عنا بسرعة عظيمة و في جميع الاتجاهات، ووصل لهذا التفسير عندما وجد أن أطياف تلك المجرات منزاحة بدرجات متفاوتة نحو اللون الأحمر و منه أن الكون في حالة اتساع.

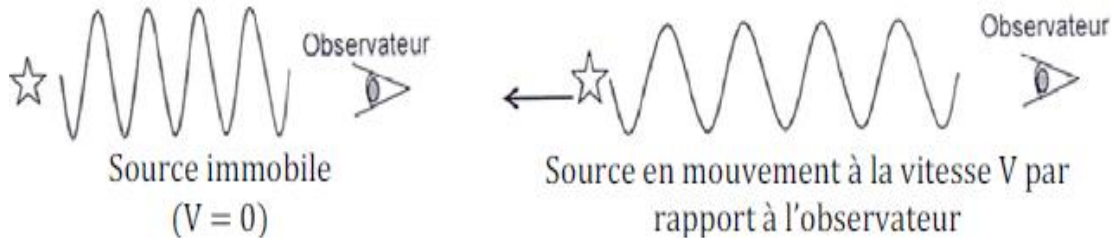
- مبدأ دوبلر:

عند ملاحظة λ_0 الطول الموجي للخط المرجعي من الطيف المدروس (مصدر ثابت بالنسبة للراقب) و λ الطول الموجي للإشعاع المنبعث من مصدر متحرك عندما يتحرك نجم بعيد

عن الأرض، هناك تحول نحو الأطوال الكبيرة و يسمى بالإنتزياح نحو الأحمر (Red Shift)

$$Z = \frac{\lambda - \lambda_0}{\lambda_0}$$

و يتميز بالعدد



الشكل (17 - II) مبدأ دوبلر

صيغة دوبلر تعطي سرعة الازاحة V من مصدر الضوء بالنسبة للمراقب على

$$V = c \frac{\lambda - \lambda_0}{\lambda_0} \quad (35 - II)$$

C : هي سرعة الضوء في الفراغ ($C = 2.99792 * 10^8 \text{ m.s}^{-1}$)

- الإنزياح نحو الأحمر:

في عام 1930 وجد أودين هابل (Edwin Hubble) بالتجربة أن جميع المجرات تبتعد عن الأرض، وأظهر من الطيف أن هناك تحولاً كبيراً نحو اللون الأحمر، و يبدو أن التحول أو الإنزياح إلى الأحمر يتتناسب مع المسافة.

$$Z = \frac{H_0 d}{c} \quad (36 - II)$$

حيث (H_0): ثابت يدعى بثابت هابل.

لنفرض أن المرسل والمستقبل ينتقل على نفس الخط، هناك ثلاثة مراجع قاليلية للدراسة:

- مرجع الوسط الذي تنتشر فيه الموجة، مع c هي سرعة الموجة في الوسط (ليس بالضرورة أن تكون من سرعة الضوء)
- المرجع المرتبط بالمرسل (المصدر): مع (V_{em}) تدعى السرعة الجبرية للإرسال بالنسبة للمرجع.

- المرجع المرتبط بالمستقبل: مع (V_{rec}) تدعى سرعة الاستقبال بالنسبة للمرجع مع الاتفاق أن السرعة تحسب موجبة في اتجاه انتشار الاشارة (من المرسل إلى المستقبل)، و بالتالي السرعة (V_{em}) موجبة و (V_{rec}) سالبة تتوافق تقريباً بين المصدر و المستقبل، في حين أن السرعة (V_{em}) سالبة و (V_{rec}) موجبة تتوافق مع المسافة.

إذا (f_{em}) هو تردد الموجة في مرجع المصدر، ثم يحصل المتلقى (المستقبل) على موجة من التردد (f_{rec})

$$f_{rec} = \frac{c - V_{rec}}{c - V_{em}} \cdot f_{em} = \frac{1 - (V_{rec}/c)}{1 - (V_{em}/c)} \cdot f_{em} \quad (37 - II)$$

لنفرض أن مصدر الإشارة يرسل نبضات بتوتر (f_{em}) و الحركة النسبية بين المرسل و المستقبل عbara عن حركة على نفس المحور.

عندما يرسل المصدر النبضة الثانية فإن النبضة الأولى تكون قد تحركت بمسافة

$$d_0 = cT_{em} \quad (38 - II)$$

في المعلم (1) لدينا ($T_{em} = \frac{1}{f_{em}}$) و يكون مصدر الإشارة قد تحرك بمسافة ($V_{em} \cdot T_{em}$) خلال الزمن (T_{em})، تصبح المسافة بين النبضتين.

$$d_1 = (c - V_{em}) \cdot T_{em} \quad (39 - II)$$

لحسب الزمن، (T_{rec}) الذي يفصل بين لحظتي وصول النبضتين إلى المستقبل، هذا الأخير يستقبل النبضة الأولى في بداية المجال الزمني (T_{rec}) و بعد ذلك يتحرك من مكانه الأول بمسافة ($V_{rec} \cdot T_{rec}$) في اللحظة التي يستقبل فيها النبضة الثانية.

خلال المجال الزمني (T_{rec})، النبضة الثانية تكون قد قطعت المسافة

$$d_2 = d_1 + V_{rec}T_{rec} = cT_{rec} \quad (40 - II)$$

و لدينا من المعادلتين:

$$\begin{cases} d_1 + V_{rec}T_{rec} = cT_{rec} \\ d_1 = (c - V_{em})T_{em} \end{cases} \Rightarrow \begin{cases} d_1 = (c - V_{rec})T_{rec} \\ d_1 = (c - V_{em})T_{em} \end{cases}$$

بالمتساوات بين (II - 39) و (II - 40) نجد:

$$(c - V_{em})T_{em} = (c - V_{rec})T_{rec} \quad (41 - II)$$

$$\text{بتعميض } (T_{rec} = \frac{1}{f_{rec}} \text{ و } T_{em} = \frac{1}{f_{em}} \text{ نجد}$$

$$(c - V_{em})f_{rec} = (c - V_{rec})f_{em}$$

و منه :

$$f_{rec} = \frac{c - V_{rec}}{c - V_{em}} f_{em} \quad (42 - II)$$

- في حالة المنبع (المصدر) متحرك و المستقبل ثابت ($V_{rec} = 0$) يكون :

$$f_{rec} = \frac{c}{c - V_{em}} f_{em} = \frac{1}{1 - \frac{V_{em}}{c}} f_{em} \quad (43 - II)$$

- و في حالة المنبع ثابت و المستقبل متحرك ($V_{em} = 0$) تكون

$$f_{rec} = \frac{c - V_{rec}}{c} f_{em} = \left(1 - \frac{V_{rec}}{c}\right) f_{em} \quad (44 - II)$$

نلاحظ أن الحالتين غير متاظرتين : حيث إذا كان المستقبل يبتعد عن المرسل بسرعة أكبر من c فإنه لن يستقبل أبدا الإشارة , أما إذا كان المرسل يبتعد عن المستقبل بسرعة أكبر من c فإن المستقبل يستقبل الإشارة.

في الحالة الكلاسيكية لا نستطيع عكس الأدوار بين المرسل و المستقبل، فهناك عدم التمازن في انزياح التردد بين المتلقي و مرسل يتحرك (تلقي تردد مختلف عن الأول من نفس المرسل) ، هذا التباين يرجع إلى الوسط الذي تنتشر فيه الموجة و هذا مبرهن عليه في الأمواج الصوتية.

في حالة الأمواج الكهرومغناطيسية في الفراغ سرعة الموجة هي سرعة الضوء، لا تتأثر بسرعة المعلم و لذلك يجب معالجة المسألة في إطار النسبية لنجعل على تمازن بين الحالتين، حيث لا نميز بين سرعة المرسل و سرعة المستقبل، فقط السرعة النسبية بينهما تأخذ بعين الاعتبار.

- حساب النسبة:

قبل إعطاء صيغة تأثير دوبلر النسبية في الحالة العامة، أولاً هذا برهان مبسط لعبارة دوبلر النسبية في حالة جميع الحركات التي تكون على نفس المحور، و على نفس المحور يكون انتشار الإشارة.

مبدأ هذا الحساب هو الأخذ بعين الاعتبار تأثير تمدد الزمن الذي يصاحب الانتقال من معلم ثابت إلى معلم متحرك.

نرمز للسرعة بين المرسل والمستقبل ب V و التي تكون موجبة في حالة الابتعاد عن بعضهما، و نتيجة لذلك إذا كان المنبع هو الوحيد الذي يتحرك فإن $V_{em} = -V$ و إذا كان المستقبل هو الوحيد الذي يتحرك فإن $V_{rec} = +V$

أولاً: نعتبر المنبع هو الذي يتحرك، إذا حسبنا بالصيغة الكلاسيكية السابقة توافر الإشارة عند الاستقبال لما:

$$\begin{cases} V_{em} = -V \\ V_{rec} = 0 \end{cases}$$

هو:

$$f_{rec} = \frac{f_{em}}{1 + \left(\frac{V}{C}\right)} = \frac{f_{em}}{1 + B} \quad (45 - II)$$

حيث: $B = V/C$

الآن إذا أخذنا بعين الاعتبار معامل التمدد الزمني النسبي:

$$\delta = \frac{1}{\sqrt{1 - \left(\frac{V^2}{C^2}\right)}} = (1 - B^2)^{-1/2} \quad (46 - II)$$

الذي يرفع من المجال الزمني المقاس عند المستقبل الثابت و منه فإن التواتر ينقص بالمعامل المقلوب

$$[1 - (V^2/C^2)]^{1/2}$$

و منه يعطينا التواتر (f_{rec}) كما يلي:

$$f_{rec} = \frac{1}{\delta} \frac{f_{em}}{1 + B}$$

$$f_{rec} = \frac{\sqrt{1 - B^2}}{1 + B} f_{em}$$

$$f_{rec} = \sqrt{\frac{1 - B}{1 + B}} f_{em} (47 - II)$$

ثانياً: الآن نعتبر المرسل هو الثابت و المستقبل متحرك، باستعمال الصيغة الكلاسيكية نجد:

$$\begin{aligned} V_{em} &= 0 \\ V_{rec} &= +V \end{aligned}$$

$$(48 - II) f_{rec} = (1 - B) f_{em}$$

بأخذ معامل التمدد الزمني بعين الاعتبار، فإن العبارة التالية

$$f_{em} = \frac{f_{rec}}{(1 - B)} \quad (49 - II)$$

هي التي يجب ضربها بالمعامل $(V^2/C^2)^{1/2} - 1$ فنصل إلى النتيجة التالية:

$$f_{em} = \frac{\sqrt{1 - B^2}}{1 - B} f_{rec}$$

$$f_{em} = \sqrt{\frac{1 + B}{1 - B}} f_{rec} \quad (50 - II)$$

و منه نستنتج f_{rec} :

$$f_{rec} = \sqrt{\frac{1 - B}{1 + B}} f_{em} \quad (51 - II)$$

و هي نفس العبارة المبرهن عليها في الحالة السابقة، و هذا ما يبين أن مفعول دوبلر متناضر و لا يتأثر بالسرعة النسبية بين المرسل و المستقبل.

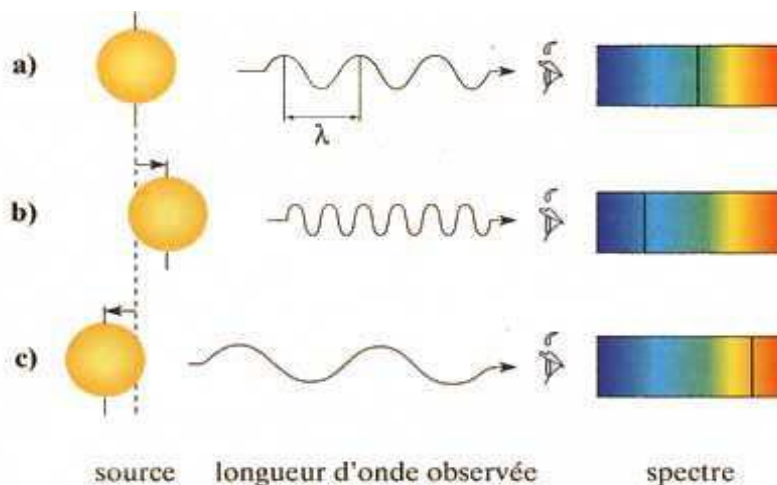
مفعول دوبلر النسبي يمزج بين مفعولين، تأثير الحركة القاليلية الذي يدخل السرعة القطرية بين المرسل و المستقبل و تأثير التمدد الزمني الذي يدخل قيمة السرعة الكلية.

- مجال التطبيق:

تأثير دوبلر يستعمل في المجالات التي يكون مطلوباً فيها سرعة وسط أو جسم متحرك، كما يستعمل في التطبيقات التالية:

- المجال الفلكي:

- تأثير دوبلر له أهمية كبيرة في علم الفلك لأنّه يعرّفنا على سرعة الأجرام السماوية وسرعة المادة داخل هذه الأجرام.
- تأثير دوبلر يمكننا بشكل مباشر من معرفة السرعة القطرية للنجم، حيث بدراسة الطيف الخاص بالمجسم السماوي نلاحظ أن خطوط الطيف مزاحة من حيث طول الموجة بالنسبة لنفس خطوط الطيف التي تمت ملاحظتها في المخبر.
- إنزياح خطوط الطيف يكون باتجاه اللون الأحمر في حالة أن النجم يبتعد، ويكون الانزياح في إتجاه اللون البنفسجي في حالة أن النجم يقترب.



الشكل (II - 18) إنزياح خطوط الطيف [11]

- قياس سرعة النجوم أو سحب الغاز بين النجوم مكنت من تدقيق حركة المادة داخل درب التبانة، وتحديد الحركة الحلزونية.
- تأثير دوبلر يفسر سبب وجود خطوط طيف ذات عرض في طول الموجة أكبر من الحالة الطبيعية، حيث بسبب التحرير الحراري تتحرك الذرات في جميع

الاتجاهات، حيث جزء منها يتحرك مبتعداً مع ارتفاع في طول الموجة و جزء يتحرك مقترباً مع انخفاض في طول الموجة.

- العرض المميز للموجة λ_0 يقاس بمقدار يسمى عرض دوبلر وهو متناسب طرداً مع السرعة المتوسطة للتحريض الحراري.

$$\Delta\lambda_D = \frac{\lambda_0}{C} \sqrt{\frac{2KT}{m}} \quad (52 - II)$$

حيث K: ثابت بولتزمان
m: كتلة الذرات.

إذن عرض خط الطيف هو عبارة عن مقياس لدرجة حرارة النجم، و التحريض الحراري ليس السبب الوحيد لاتساع أو زيادة خط الطيف، بل هناك حركة مضطربة للمادة في جميع الأوساط الفلكية تشارك في زيادة عرض خط الطيف.

الفصل الثالث

إنتاج ليزر في المخبر يعمل بأشعة X
بنفس طريقة الليزر النجمي

III. فيزاء تضخيم ليزر UV-X للبلازما الكثيفة

1.III مقدمة

أول ما ظهر مخطط ضخ الليزر في سنة 1967 في كتاب بعنوان "some Approaches to vacuum UV and X-ray lasers" ، بحثاً عن امكانية إنشاء عكس الإسكان في حدود طاقة "X-UV" بواسطة التأين الضوئي للذرة المحايدة ليتم إنشاء الأيونات ، و بواسطة إعكاس الإسكان من الضرورة توليد عمل الليزر [6].

في هذا المحور، سوف نصف بنية و مبادئ الآليات الفيزيائية المطبقة في إنتاج و تطوير البلازما التي تم إنشاؤها بواسطة الليزر لأجل توليد UV-X انطلاقاً من تأيير و إعادة تركيب هدف صلب، و سنتحدث عن الأداة الأساسية لفزياء البلازما الكثيفة ذات الصلة بدراسة توليد تضخيم الليزر UV-X من هدف صلب و كذلك وصف البلازما التي ينتجها أشعة الليزر لتضخيم UV-X.

III. 2. التفاعل ليزر بلازما:

نوع الحقل الكهربائي لموجة شدة الليزر تقارب ($10^8 W cm^{-2}$) (للعناصر ذات Z متوسطة) الذي يتجاوز حقل إلكترون الذرة . خلال تفاعل حزمة كثيفة من الليزر مع إلكترونات هدف صلب، يتم انتزاعها بأكبر سرعة (في وقت أقل بكثير من النبضة) من خلال إمتصاص عدة فوتونات [6].

أولاً: الإلكترون المقدوف (الإلكترون الحر) يقوم بنقل الطاقة إلى الإلكترونات الأخرى من شبكة الذرات بواسطة التصادمات، الذي يتبعه طرد في المادة، الإلكترونات المقدوفة تتسارع في حقل الليزر و بواسطة التصادمات مع ذرات الوسط تتشكل بلازما ساخنة و كثيفة [6].

ثانياً: توسيع البلازما يولد موجة الصدم (ashockwave) التي تنتشر نحو المناطق الداخلية للهدف ثم يتفاعل الليزر مع البلازما التي تتسع في الاتجاه المعاكس لانتشار حزمة الليزر [6].

في هذه الديناميكية، البلازما تقدم تدرج في الكثافة و الحرارة الإلكترونية، و يمكن أن نميز مناطق مختلفة من البلازما على طول محور الليزر الحادث .

III-2-1 بنية البلازما المتشكلة بواسطة الليزر:

البلازما يمكنها أن تتحلل في مختلف المناطق، ممدة على طول محور الليزر ، كما أنتظورها الفضائي و الزمني يختلف وفق وسط التفاعل، يمكن أن نميز بين أربعة آليات تتحكم في هيدروديناميكا هذه البلازما:

- امتصاص طاقة الليزر المتكونة عن طريق العديد من العمليات المختلفة و لكن غالبا ما تكون خاضعة لامتصاص إشعاع الكبح العكوس (Braking Inverse) .(Radiation)
- نقل الطاقة داخل الهدف.
- توسيع الجزء المتأكل من الهدف.
- إرسال و انتقال الإشعاعات .

يمكن بهذا تحديد مناطق البلازما الموافقة لكل عملية، (الشكل III-1) الذي يعطي خصائص البلازما مثل درجة الحرارة و الكثافة الإلكترونية.

ـ الكثافة الحرجة: (CriticsDensity)

من أهم العناصر الأساسية في التفاعل بلازما - ليزر هو الكثافة الحرجة ، عندما نرسل أشعة الليزر على هدف صلب، الإلكترونات الحرة في البلازما تولد تغيير في انتشار حزمة الليزر في البلازما، و يمكن أن نكتب علاقة تشتت موجة الليزر (Dispersion of the laserwave) في البلازما كما يلي[6]

$$\frac{K_L^2 c^2}{w_L^2} = 1 - \frac{w_{P,e}^2}{w_L^2} (1 - III)$$

أين K_L : عدد الموجة.

w_L : تواتر الليزر.

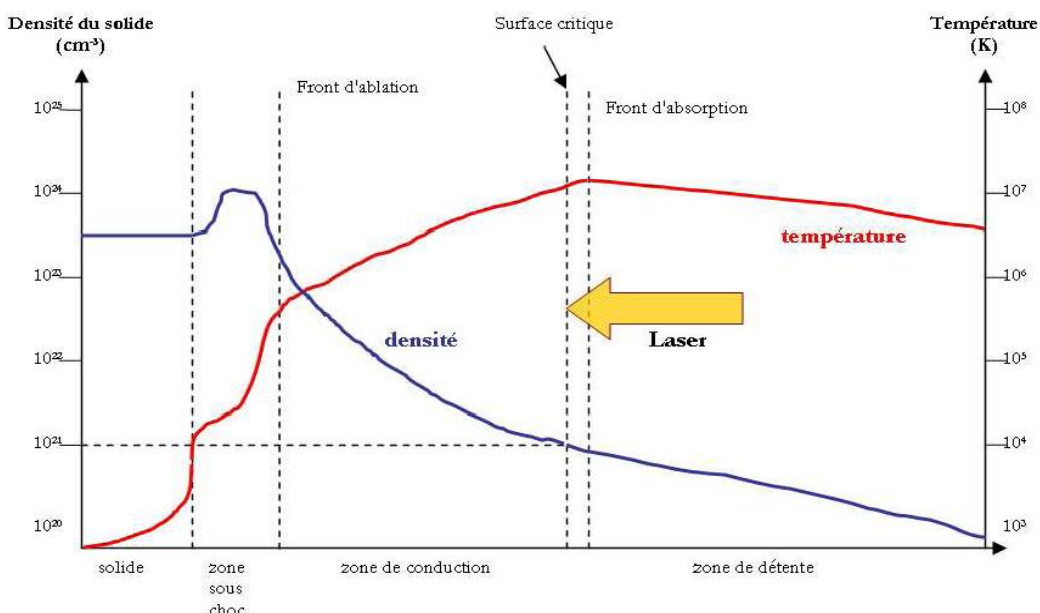
$w_{P,e}$: تواتر البلازما الإلكتروني و يعطى بالعلاقة[17]:

$$w_{P,e} = \sqrt{\frac{n_e e^2}{m_e}} (2 - III)$$

حيث n_e : كثافة الإلكترونات.

m_e : كتلة الإلكترون.

e : الشحنة الإلكترون.



الشكل(1-III) : بنية بلازما متشكلة من تفاعل الليزر مع هدف صلب،
مظهر التغيرات الفضائية للكثافة و درجة الحرارة في مختلف مناطق البلازما
معطى في نظام تفاعلات النانو ثانية (Nanoseconde) و متوسط العدد الذري[6].

يبين الشكل(1-III) أن أشعة الليزر تنتشر في المناطق ذات كثافة عالية، و يصبح شعاع الموجة صغير شيئاً فشيئاً حتى ينعدم من أجل قيمة للكثافة يصcludينا ما يلي [6]:

$$w_L = w_{P,e} \quad (3 - III)$$

و لا يمكن لإشعاع الليزر فيما بعد أن ينتشر ، بل إنه ينعكس (موضع الانعكاس يعتمد على زاوية السقوط) هذه الكثافة تدعى الكثافة الحرجة n_c و تعرف بـ [6]:

$$n_c = \frac{m_e w_L^2}{4\pi e^2} \quad (4 - III)$$

من أجل $n_e > n_c$ عدد الأمواج يصبح خياليا .

يمكننا التعبير عن الكثافة الحرجة بدلالة طول موجة إشعاع الليزر الحادث في البلازما[9]:

$$n_c \approx \frac{1,1 \cdot 10^{21}}{\lambda_L^2 [\mu m]} [cm^{-3}] \quad (5 - III)$$

حيث: λ_L طول موجة الليزر و تفاص بالميكرومتر.

على سبيل المثال : من أجل حزمة الليزر Ti :Sa $\lambda_L = 0.8 \mu m$ فإن الكثافة الحرجة تساوي إلى $(n_c \approx 1,8 \cdot 10^{21} cm^{-3})$, و من أجل شعاع Nd-laser $\lambda_L = 1.06 \mu m$ فإن الكثافة الحرجة تقارب $(n_c \approx 10^{21} cm^{-3})$.

يترب على هذا المصطلح n_c لأن معامل إنكسار البلازما عند نقطة كثافة الإلكترونات n_e يأخذ القيمة [9]:

$$n = \left(1 - \frac{n_e}{n_c}\right) \quad (5 - III)$$

كل عمليات الامتصاص و الانعكاس تحدث لما $n_e \leq n_c$, يسمى هذا المجال في البلازما بالمنطقة تحت الحرجة "under-Critical" أو تحت الكثيفة "under-dense" .[6]

يبين الشكل (1-III) أيضا المناطق الرئيسية في البلازما المنتجة بالليزر، السطح الحر (criticalSurface) من البلازما وهو حد انتشار الليزر، المنطقة تحت الحرجة ($n_e < n_c$) (بنية هذه المنطقة ذات أهمية خاصة في توليد ليزر X-UV من هدف صلب ، منطقة التوصيل سمكها يعتمد على شدة الليزر ومدة النبضة، المنطقة ($n_e > n_c$) (the conductionzone)

تحت الصدم (the under-choczone) هنا تكون الكثافة كبيرة جداً أو تساوي كثافة المادة الصلبة [9].

تسخين البلازما يعود إلى إلكترون التوصيل الحراري، و من الممكن أيضاً بواسطة الإشعاعات ذات طول موجة قصيرة قادمة من المنطقة دون الحرجة - و تسمى هذه المنطقة أيضاً (plasma corona) بلازما الغلاف الخارجي للنجم - هذه المنطقة ليست بعيدة عن السطح الحر، لها درجة حرارة عالية (من 200ev إلى 1000ev) و يحدث فيها إنبعاث أشعة سطح الحر، بسبب انعكاس السكان [6].

III-2-2 خصائص بلازما ليزر :

الهدف هنا تقديم مميزات كثافة و درجة حرارة قبل - البلازما (pre-plasma) في نطاق توليد ليزر UV-تصادم الإنقالي ، نعرف أيضاً مجال قبل - البلازما و حدوث تضخيم أشعة X-UV، توزيع الكثافة و درجة الحرارة لقبل - البلازما قد تم وصفها في الشكل (1-III).

المقادير الهيدروديناميكية الأكثر أهمية لدراسة خصائص قبل - البلازما من أجل تضخيم - UV هي [6]

- الكثافة الإلكترونية: $n_e: 5 \cdot 10^{19} cm^{-3} \leq n_e \leq 2 \cdot 10^{21} cm^{-3}$
- طول تدرج الكثافة الإلكترونية: $L = \frac{n_e}{\nabla n_e} : 5 \mu m \leq L \leq 300 \mu m$
- درجات الحرارة الأيونية و الإلكترونية.
- درجة تأين قبل - البلازما.

من أجل نظام الضخ يسمى (الإنقالي Transient) يبين أن توليد قبل - البلازما ثابتة المقادير المذكورة سابقاً باستثناء درجة الحرارة الإلكترونية الناتجة عن تسخين الإلكترون بواسطة نبضة ليزر قصيرة [6].

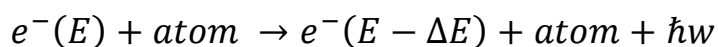
عموماً كل الخصائص الهيدروديناميكية للبلازما خلال فترة قصيرة جداً من الضخ بواسطة نبضة قصيرة (تجريبياً بضع بيكومثانوية "Picosecondes") تبقى ثابتة تقريباً.

III-2-3 آلية امتصاص أشعة الليزر في البلازما:

أثناء تفاعل الليزر - بلازما يتم امتصاص طاقة الليزر بواسطة البلازما، و هنا نعین آليات امتصاص طاقة الليزر من أجل شدة نبضة الليزر ($cm^{-2} \cdot 10^{15} > I$) و مدة النبضة ليست بقصيرة جدا ($\tau > 500 fs$).

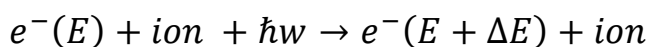
إن انتقال طاقة نبضة الليزر للضخ تسخن الإلكترونات الحرة من قبل - البلازما و هي أساسا تسخن بواسطة التصادم الإلكتروني - فوتون في مجال كولوم للأيون، أي بواسطة إشعاع الكبح العكوس (BI)، و تسمى أحيانا امتصاص إشعاع الكبح العكوس (Bremssstrahlung) أو الامتصاص التصادمي [6].

عملية إشعاع الكبح الطبيعية هي تباطؤ الإلكترون بواسطة تصادمات كولوم مع الذرة، فينتقل الإلكترون إلى حالة خالية من الطاقة، و يمكن كتابة العملية كما يلي:



حيث $\hbar w = \Delta E$: طاقة إرسال الفوتون

و عملية إشعاع الكبح العكوسية هي:



حيث $\hbar w = \Delta E$: طاقة امتصاص الفوتون.

إذن الإلكترون يتسارع مكتسبا طاقة حركية، هذه الطاقة يتم تحويلها إلى طاقة حرارية عن طريق التصادمات الإلكترون - الإلكترون و هذا ما يؤدي إلى زيادة في درجة الحرارة.

الإلكترونات الحرة في البلازما تهتز في الحقل الكهرومغناطيسي الليزري و تخضع للتصادمات العشوائية مع الأيونات و بالتالي طاقة تماسك الإهتزاز (The Coherent) تحول إلى طاقة حرارية.

يعتمد فقدان الطاقة من حزمة الليزر في البلازما على تردد التصادمات الإلكترون - أيون و طاقة إهتزاز الإلكترون في مجال الليزر .

تردد التصادم إلكترون - أيون $v_{e,i}$ يعتمد على الكثافة و درجة الحرارة و حالة تأين البلازما , و نكتب [6]:

$$v_{e,i} \propto \frac{n_e Z}{T_e^{3/2}}$$

معدل التسخين K للبلازما يكون متناسب مع [6]:

$$K \propto \frac{n_e Z}{T_e^{3/2}} \cdot \frac{n_e}{n_c}$$

و يعبر عن طاقة الليزر الممتصة في البلازما كما يلي [6][13]:

$$I_{\text{abs}} = I_0 e^{-kr}$$

حيث k : معامل امتصاص أشعة الكبح العكوسية .

r : المسافة التي تقطعها حزمة الليزر في البلازما .

I_0 : شدة الليزر في الفراغ

III.3. انتشار و تضخيم الليزر

بعد أن وصفنا الخصائص الرئيسية للبلازما , سنتطرق لعملية تضخيم أشعة X-UV في نظام ASE : AmplifiedSpontaneous (ASE) في البلازما

(Emission

III.3.1. التضخيم في نظام ASE :

وسط إشعاع الأشعة ملائم لعملية الانتقال بين مستويين ذريين, حيث إسكان المستوى العلوي N_2 و إسكان المستوى الأدنى N_1 يمكن وصفهما من قبل قيمتين فيزيائيتين : الانبعاث $(The Gain Coefficient)$ و معامل الكسب ($\epsilon_{\text{missivity}}$)

- الانبعاثية J : هي الكثافة الطيفية للطاقة المشعة و التي ينتجها في وحدة الثانية و في وحدة الحجم من الوسط ، و يعبر عنها بالوحدة $(W.cm^{-3})$ و يكتب على الشكل [6]:

$$J(\nu) = N_2 \cdot h\nu \cdot A_{21}(\nu) \quad (6 - III)$$

حيث h : ثابت بلانك.

ν : التردد أو التواتر.

$A_{21}(\nu)$ معامل أنشتايern و الذي يعبر عن احتمال الانبعاث العفوي أو التلقائي في الفترة الفاصلة بين الترددين $(\nu, \nu + d\nu)$ و هو يكتب كنتيجة من الاحتمال الكلي A من الانبعاث التلقائي للانتقال بين مستويين، و الدالة المعدلة (normalized function) $\phi(\nu)$ لشكل الطيف لهذا الانبعاث (spectral profil) تكتب على النحو التالي:

$$A_{21}(\nu) = \phi(\nu)A_{21} \quad (7 - III)$$

مع

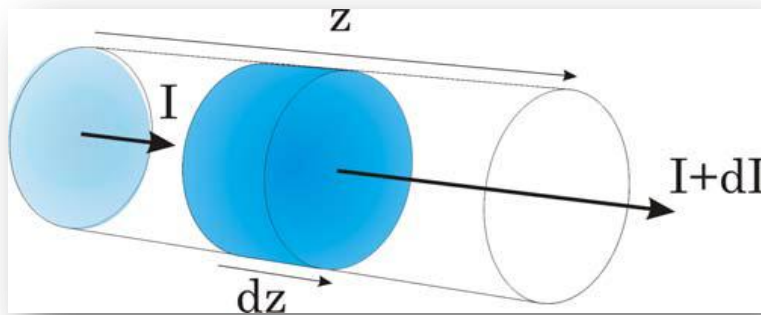
$$\int_0^{\infty} \phi(\nu) d\nu = 1 \quad (8 - III)$$

- معامل الكسب (The Gain Coefficient): عندما يتم انعكاس الإسكان نتحصل على معامل الربح $G(\nu)$ بدلالة التردد ν يعطى بالعبارة التالية [6] :

$$G(\nu) = \left(N_2 - \frac{g_2}{g_1} N_1 \right) \frac{C^2}{8\pi\nu_0^2} \cdot A_{21} \cdot \phi(\nu) \quad (9 - III)$$

حيث g_1 و g_2 هي الأوزان الإحصائية للمستويين 1 و 2

التردد ν_0 هو التردد المركزي في شكل خط الطيف.



الشكل (III-2) تأثير بين الانتقال الإشعاعي في عمود البلازما.

الشكل (III-2) يبين مبدأ حساب الانتقال الإشعاعي في حالة عنصر من بلازما متجانسة، وحجم أسطواني ثابت (dV) و الطول (dz), و يعتبر انتشار الاشعة في اتجاه عمود البلازما مع إهمال آثار انكسار الأشعة في البلازما، والأخذ في الاعتبار فقط الانتقال بين المستويين 1 و 2 ، نعبر عن التغير في الشدة (dI_ν) لأجل عبور عنصر البلازما الطول (dz) من المعادلات (III - 6)، (III - 7)، (III - 9) على النحو التالي [6] :

$$\frac{dI_\nu}{dz} = J(\nu) + G(\nu) \cdot I_\nu \quad (10 - III)$$

ثم من تكامل المعادلة (III - 10) نحصل على الشدة (I_ν) بدلالة التردد المنبعث (ν) من خلال طول عمود البلازما (L), فليكن

$$I(\nu, L) = \frac{J(\nu)}{G(\nu)} (e^{G(\nu) \cdot L} - 1) = S(\nu) \cdot (e^{G(\nu) \cdot L} - 1) \quad (11 - III)$$

حيث ($S(\nu)$) : دالة المصدر (The sourcefunction)

و العبارة (III - 11) تظهر أنه في حالة وجود ربح موجب معناه انعكاس الإس坎، وتضاعف الشدة مع طول البلازما في هذا الوسط المعاملات ($J(\nu)$) و ($G(\nu)$) تصف عمليات الامتصاص والابعاد في البلازما، و تعتمد على إسكان المستويات الموافق لتردد الانتقالات (ν)، هذه المعاملات تعتمد أيضا على شكل الخطط الطبيعي ($\phi(\nu)$).

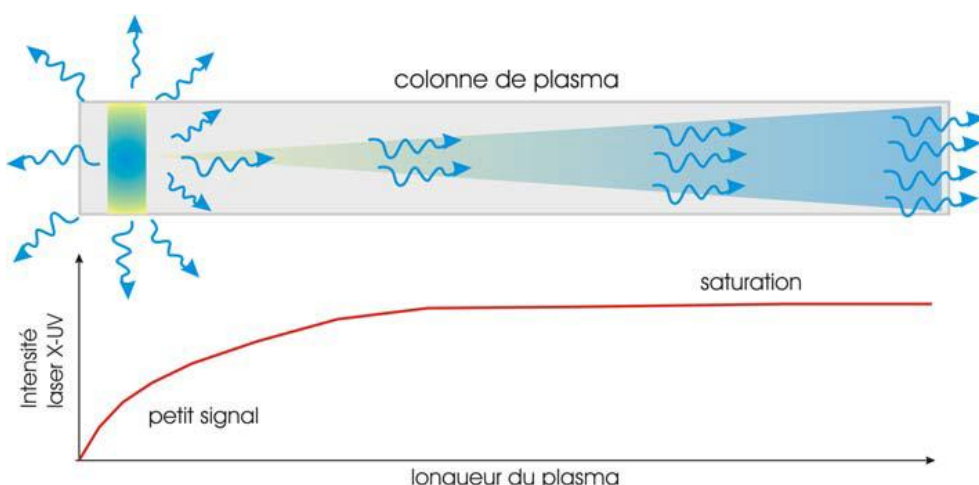
يمكن أن يقرب (ν) من (ν_0) التردد المركزي، و من تعريف الانبعاثية (III - 6) و الربع (III - 9) و باستخدام المساوات التالية:

$$\frac{J(\nu)}{G(\nu)} = \frac{j_0}{g_0} \quad (12 - III)$$

يمكنا كتابة المعادلة (III-11) على الشكل التالي:

$$I(\nu, L) = \frac{j_0}{g_0} (e^{G(\nu) \cdot L} - 1) \quad (13 - III)$$

أين j_0 و g_0 الانبعاثية و الربع لمركز الخط الطيفي على الترتيب



الشكل (3-III) تمثيل تخطيطي لمبدأ التضخيم.

يبين الشكل (3-III) مبدأ التضخيم من الانبعاث العفوي بواسطة الانبعاث المستحدث، و يبدأ التضخيم بواسطة الانبعاثات العفوية وفقاً للمحور الطولي (الانتشار)، و يبين المنحنى السفلي تطور شدة شعاع الليزر على طول عمود البلازما

الخاتمة

الليزر الفلكي هو الاسم الإلكتروني (Electronic quantum) الطبيعي من الجمال الأقصى، ويرتكز الليزر الفلكي المكتشف على الضغط الضوئي ويعمل وفقاً لمخطط شبيه بالمخطط المقترن الأول في مختبر الليزر منذ 50 عاماً من قبل (C.

[1] 1958 (Townes and A. Scawlow

نعتقد أن تضليل الليزر والانبعاث المحفز للإشعاع هو ظاهرة شائعة و منتشرة خاصة لتكثيف الغاز قرب النجوم الامعة، بالرغم من ذلك، فإن الكشف عن تأثير الليزر في الفضاء هو أقل وضوحاً في المنطقة البصرية من الطيف من تأثير الميزر في منطقة الموجات الدقيقة (microwave region)، أين يعطي الميزر خطوط إشعاع فوهة عالية السطوع لدرجة حرارة إستثنائية ($K = 10^{15} - 10^{10}$).

في المنطقة البصرية تأثير الليزر يرفع شدة الخطوط الممنوعة الضعيفة إلى شدة الخطوط المسموحة القوية شريطة أن تكون هناك إشارة ضوئية انتقائية من المستويات العليا في الانتقالات الليزرية، هذا يفسر الفرق الشاسع بين معدل الانبعاث التلقائي وآليات إنتاج عكس الإسكان في مناطق طول الموجة الضوئية والموجات الدقيقة (microwave).

أهم صعوبة في اكتشاف تأثير الليزر هو شدة الانبعاث التلقائي الذي يجب تأثير الانبعاث المستحدث، لذلك فإن ملاحظة الانتقالات الممنوعة هي أكثر وسيلة واعدة للكشف عن تأثير الليزر في الفضاء.

إن ملاحظة ضيق بعض الخطوط الطيفية القادمة من المنطقة الليزرية هو أفضل دليل على حدوث الليزر الفلكي، ومع تقدم التلسكوب البصري الكبير لاستقبال تغيرات الليزر يجعل هذه المهمة أكثر واقعية في العقد المقبل.

فكرة استعمال الليزر للإتصالات بين النجوم وبين الكواكب (شوارتر و تاونز Schwartz and Townes 1960) ولدت مباشرة بعد اكتشاف الليزر، فمن الطبيعي جدا لأن الليزر يرسل شعاع متصل و مباشر، أي أن هذا الشعاع منارة المجرة Galactic، وفي الواقع يمكن أن يتم الكشف عن هذه المنارة في المسافات بين النجوم. إمكانية الكشف عن الإشارات على مسافات حوالي 100 سنة ضوئية يمكن اعتباره كأول خطوة، و الكشف على المسافات 100-1000 سنة ضوئية ستكون الخطوة الثانية.

فقد أجريت التجارب الأولى (رينس Reines و آخرون سنة 2002) و التجارب الجديدة سوف يتم تنفيذها مستقبلا.

إن ملاحظة تأثير الليزر في أجواء المريخ والزهرة للجزيئي CO_2 في طول الموجة $10\mu\text{m}$ مشروع يؤدي إلى الليزر الكوكبي للإتصالات بين نجمي (شيرود Sherwood و آخرون 1992).

و قد شوهدت أولى المراحل لولادة تكنولوجيا الليزر الفلكي (astrolaser)، و أنه من الصعب جدا التنبؤ بنتائج هذا الاتجاه في المستقبل.

النتائج التي توصلنا إليها في هذه المذكرة :

- قمنا بعرض نتائج الملاحظات الفلكية للليزر الفلكي

- قمنا بحساب نسبة الضخ في الليzer الفلكي باستخدام قانون ساها .

- قمنا بعرض تغير نسبة الضخ بدلاله الزمن و مقارنتها مع درجة الحرارة .

من الممكن عرض أفكار جديدة تتضمن إمكانية تضخيم إشارة الليزر الطبيعي في بعض الأوساط بين نجمية.

قائمة الأشكال والمخططات :

[5].....	لشكل (I-1) امتداد يف الليزر
[6].....	الشكل (I-2) العناصر المكونة لليزر
[7]	الشكل (I-3) الامتصاص
[8]	الشكل (I-4) الانبعاث التلقائي
[9]	الشكل (I-5) الانبعاث المستحدث
[11].....	الشكل (I-6) نظام المستويات الثلاثية
[12]	الشكل (I-7) نظام المستويات الرباعية
[16]	الشكل (I-8) مخطط مستويات الطاقة لليزر الياقوت
[17]	الشكل (I-9) مخطط مستويات الطاقة لليزر النيدميوم-ياك
[18]	الشكل (I-10) مخطط ليزر الحالة السائلة
[19]	الشكل (I-11) مخطط مستويات الطاقة لليزر الهيليوم - نيون
[19]	الشكل (I-12) مخطط مستويات الطاقة لليزر أيون الأركون
[20]	الشكل (I-13) مخطط مستويات الطاقة لليزر CO_2
[22]	الشكل (I-14) ألوان مختلف أنواع الليزر
[23]	الشكل (I-15) نظام المستويات الثلاثية
[24]	الشكل (I-16) نظام المستويات الرباعية
[28]	الشكل (II-1) العمليات الأساسية تحت إشعاع الذرة
[28]	الشكل (II-2) ارتباط المقطع الفعال للتأين الضوئي للذرة بالتردد
[29]	الشكل (II-3) طاقة التأين I للعناصر بدلالة العدد الذري Z
[33]	الشكل (II-4) كيف يصدر الضوء من الذرة
[35].....	الشكل (II-5) عالة المقطع الفعال بوحدة πa_0^2 .
[35]	الشكل (II-6) عالة المقطع الفعال لتأين ذرة الهيدروجين

الشكل (II-7) توزيع ماكسوال لطاقة الالكترون في مجموعة الالكترونات..[36]	
الشكل (II-8) انتقال سكان LTE للمستويات المثارة إلى سكان المستويات المنخفضة-mon [38].....LTE	
الشكل (II-9) الضخ بواسطة إشعاع إعادة التركيب ...[39]	
الشكل (II-10) يمثل منحنى تغيرات النسبة $\frac{n_{i+1}}{n_i}$ بدالة درجة الحرارة ...[45]	
الشكل (II-11) يمثل منحنى تغيراتنسبة المضخة W_p بدالة الزمن t [47]	
الشكل (II-12) يمثل منحنى تغيرات درجة الحرارة T بدالة الزمن t [48].....	
الشكل (II-13) يمثل منحنى تغيراتنسبة المضخة W_p و درجة الحرارة T بدالة الزمن t [49].....	
الشكل (II-14) طيف النجم Wolf-Rayt (WR 137) من النوع الطيف [55]	WC 7
الشكل (II-15) طيف إنبعاث السديم Eta Carinae [57]	
الشكل (II-16) خطوط الطيف النجمي تحتوي على OI [57]	
الشكل (II-17) مبدأ دوبلر [59]	
الشكل (II-18) إنزياح خطوط الطيف [64]	
الشكل (III-1) بنية البلازما التي تم إنشاؤها بواسطة الليزر [69]	
الشكل (III-2) تأشير الإنقال الإشعاعي في عمود البلازما [75]	
الشكل (III-3) تمثيل تخطيطي لمبدا التضخيم [76]	

المراجع

- [1] Letokhov, V. S. 2002. Astrophysical lasers. *Kvantovaya Elektronika* (Russian) **32**(12), 1065–1079.
- [2] Litvak, M. M. 1969. Infrared pumping of interstellar OH. *Astrophysical Journal* **156**, 471–492.
- [3] Richard J. Saykally ; Mid-IR Laser Action in the H₃ Rydberg Molecule and Some, *California 94720-1460*
- [4] Y. P. Varshni and R. M. Nasser ; LASER Action in stellar envelopes ; (Received 26 March, 1986)
- [5] Saha Equation ; Supplement to Chapter 4 of *Astrophysics Processes (AP)* by Hale Bradt (Camb. U. Press 2008)
- [6] Kevin Cassou , Etudes d'amplificateurs plasma laser à hautecadence dans le domaine X-UV et applications , 14 décembre 2006
- [7] Susan Lea, Plasma Physics , January 2007
- [8] Les Lasers principe et fonctionnement . R .Dandlier
- [9] Coherent Sources of XUV Radiation . H.K.V. Lotsch 2005
- [10] Astrophysical Laser operating in the OI 8446 Å° line in the Weigelt blobs of η carinae ; S. Johansson and V.S. Letokhov . 2005
- [11] Effet Doppler – Fizeau en astrophysique
- [12] Caractéristique et propriétés des ondes – Effet Doppler et astrophysique .<https://www.sciencesphysiques.info>
- [13] Les Lasers et leurs application modernes . M.Ahdoub et A.Bardadi
- [14] أساسيات الليزر و تكنياته , إعداد عدي عطا حمادي , 2004]
- [15] دراسة نظرية تقاغل الليزر عالي الشدة مع قناة بلازما موجودة مسبقا, إعداد نايفه سليمان محمد العطوي , سنة 2011
- [16] أساسيات في فيزياء الليزر , أ.م.د بهاء حسين
- [17] دراسة التحرير الإلكتروني في حالة القيم الصغيرة لواسطه الصدم في البلازما, محمودي منال , 2013
- [18] أساسيات الفيزياء الحديثة , الدكتور غازي ياسين القيسي , 2006]

ملخص :

لوحظت خطوط أشعة الليزر في اطیاف عدة أجسام فلكية. تم تفسير هذه الأشعة عن طريق تضخيمًا شعاع بواسطة ضخ مستوى طاقوي (المستوى اليزمي الأعلى) بإشعاع إعادة التركيب في البلازما الفلكية مما ينتج عنه عکاس في الإسكان بين مستويات الطاقة.

إشعاعات إعادة التركيب المسؤولة عن عملية الضخ الضوئي تنتج في البلازما الفلكية عندما تكون في حالة تمدد في الفضاء ويكون هذا التمدد مصحوب بعملية تبريد للبلازما.

في هذه المذكورة قمنا بحساب نسبة الضخ بواسطة إشعاع إعادة التركيب فسرنا الفعل الليزمي في البلازما الفلكية. تم أيضًا تفسير الإنزياح الطيفي في الخطوط المشاهدة وكذا نقصان شدة خطوط الليزر الفلكي مع الزمن.

الكلمات المفتاحية: الليزر ، الوسط النجمي ، أشعة إعادة التركيب.

Abstract

Laserrays are observed in the spectra of several stellar objects. These rays are interpreted by the amplification of light in stellar plasma by pumping of upper level by the recombination radiation. This recombination radiation is produced in plasma in expansion accompanied by rapid cooling. The recombination radiation creates then a population inversion in the plasma ions and consequently an amplification of light.

In this thesis, we have calculated the pumping rate by recombination rays. We have presented an interpretation of the laser effect in astrophysical jets within the fluid plasma theory. We have also interpreted the spectral shift (Doppler) observed in the astrophysical lasers lines and the decrease in the amplitude of the astrophysical laserrays.

Keywords: laser, stellar medium, recombination radiation

Résumé :

Des rays laser sont observés dans les spectres de plusieurs objets stellaires. Ces rays sont interprétés par la création d'une inversion de population sous l'effet de pompage optique dans les niveaux d'énergie des ions dans les plasmas stellaires et par conséquent l'amplification de rayonnement. Le pompage est assuré par le rayonnement de recombinaison produit dans les plasmas stellaires qui subit une détente dans l'espace accompagnée d'un refroidissement.

Dans ce mémoire, nous avons calculé le taux de pompage par le rayonnement de recombinaison. Nous avons présenté une interprétation de l'effet laser dans les jets astrophysique dans le cadre de la théorie fluide des plasmas. Nous avons également interpréter le décalage spectrale (effet Doppler) que subit les lignes lasers astrophysique ainsi que la diminution de l'amplitude de la ray laser astrophysique.

Mots clés : laser, milieu stellaire, rayonnement de recombinaison.